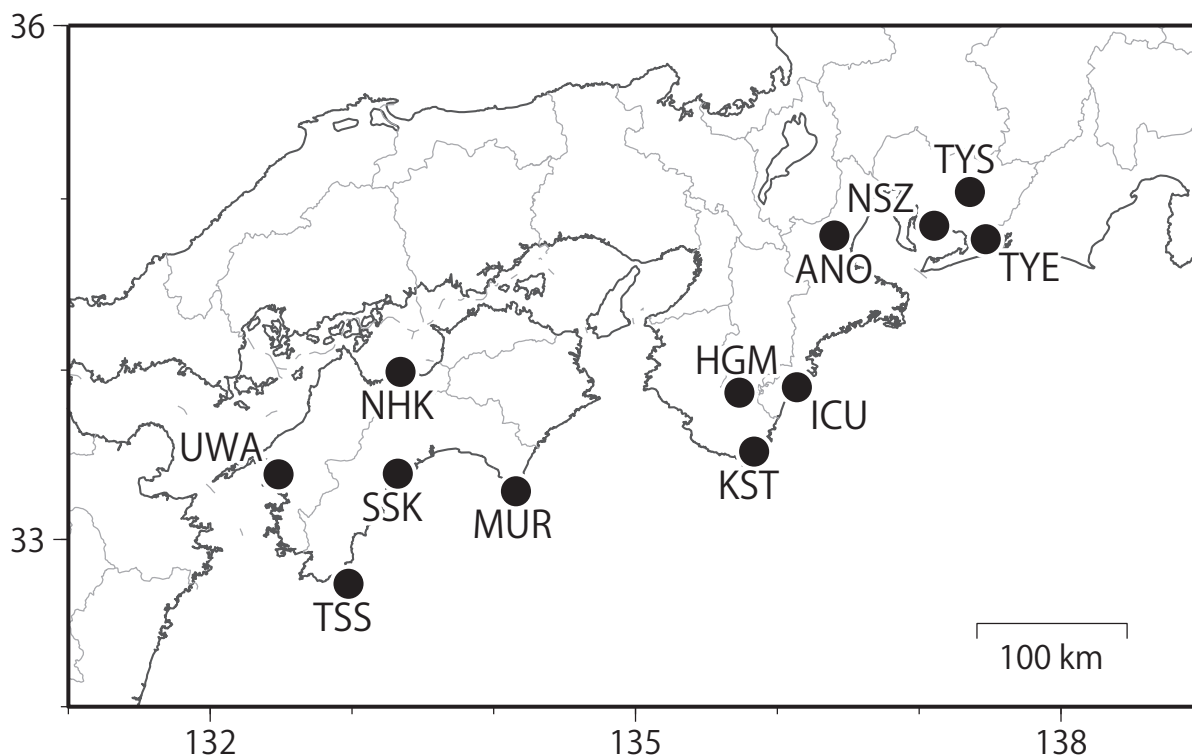


【第84回】南海トラフ沿いの地震に関する評価検討会  
【第462回】地震防災対策強化地域判定会

—産業技術総合研究所資料—

令和6年9月6日

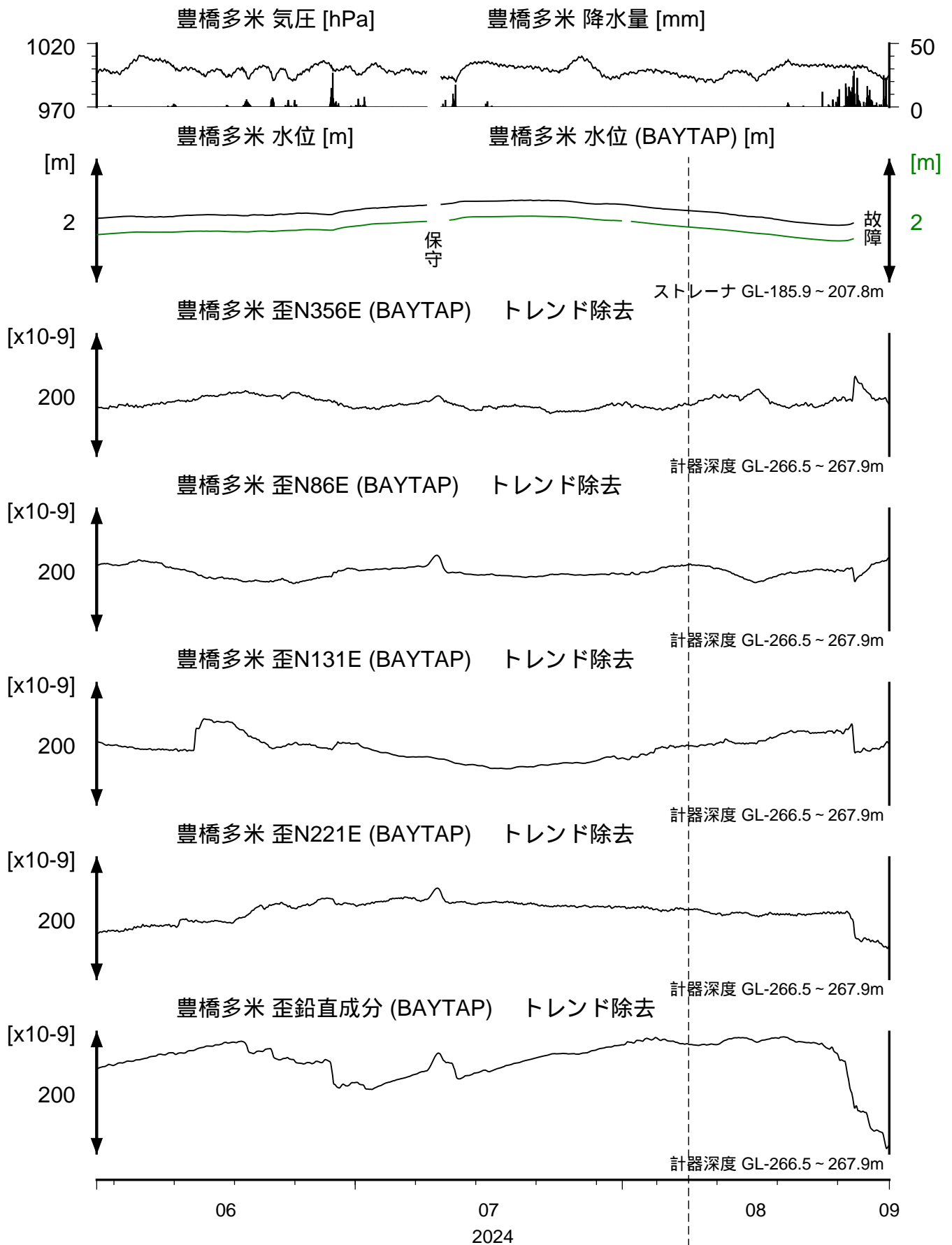




愛知県～紀伊半島～四国における地下水等総合観測施設の分布図

文字コード	名称	ふりがな	市区町村	ページ
TYE	豊橋多米	とよはしため	愛知県豊橋市	3
TYS	豊田神殿	とよたかんの	愛知県豊田市	4
NSZ	西尾善明	にしおぜんみょう	愛知県西尾市	5
ANO	津安濃	つあのう	三重県津市	6
ICU	熊野磯崎	くまのいそざき	三重県熊野市	7
KST	串本津荷	くしもとつが	和歌山県東牟婁郡串本町	8
HGM	田辺本宮	たなべほんぐう	和歌山県田辺市	9
MUR	室戸岬	むろとみさき	高知県室戸市	10
NHK	新居浜黒島	にいしまくろしま	愛媛県新居浜市	11
SSK	須崎大谷	すさきおおたに	高知県須崎市	12
TSS	土佐清水松尾	とさしみずまつお	高知県土佐清水市	13
UWA	西予宇和	せいようわ	愛媛県西予市	14

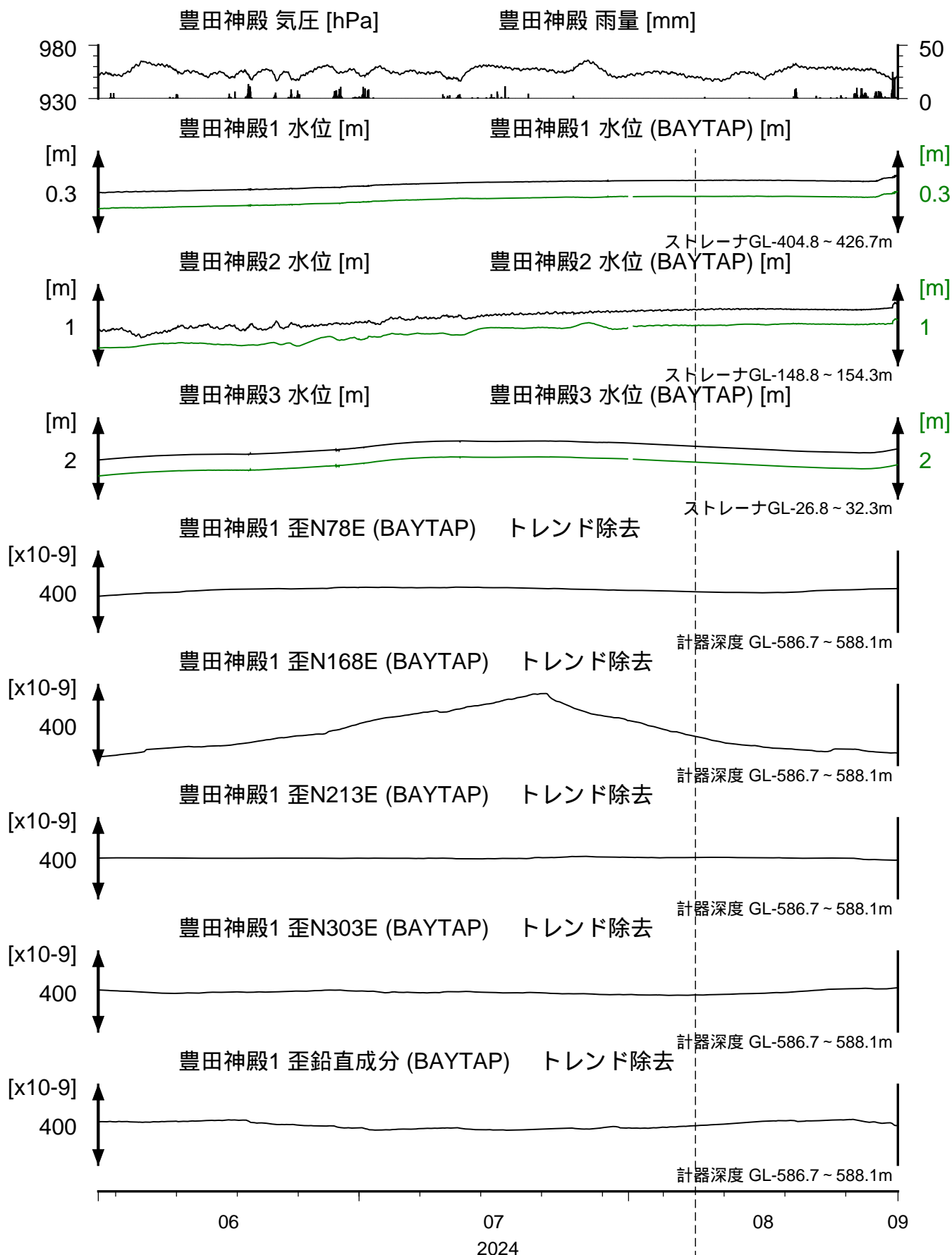
# TYE 豊橋多米 地下水位・歪（時間値） (2024/06/01 00:00 - 2024/09/01 00:00 (JST))



コメント：特記事項なし。

2024.8.8.  
日向灘の地震  
M7.1

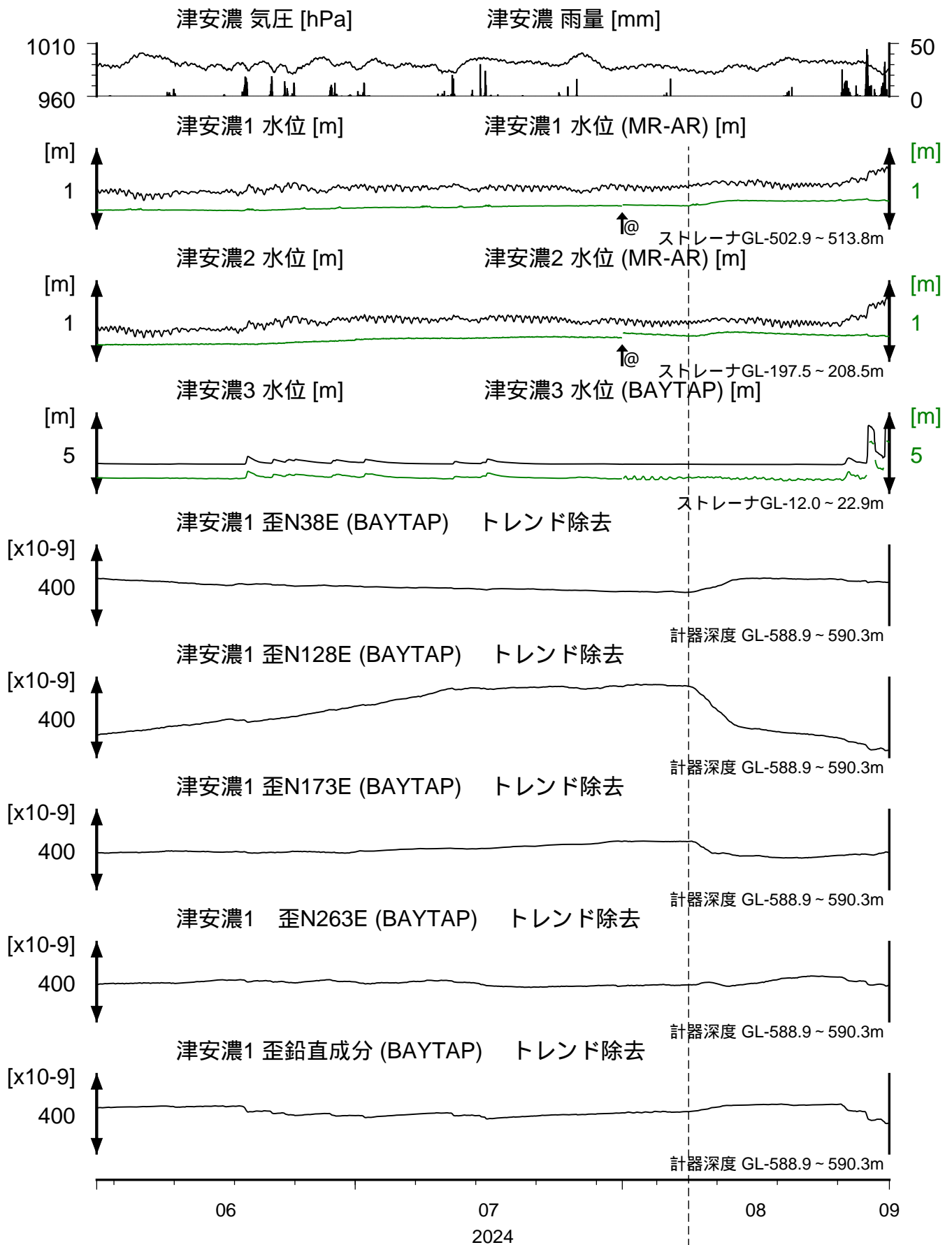
TYS 豊田神殿 地下水位・歪 (時間値)  
 (2024/06/01 00:00 - 2024/09/01 00:00 (JST))





# ANO 津安濃 地下水位・歪 (時間値)

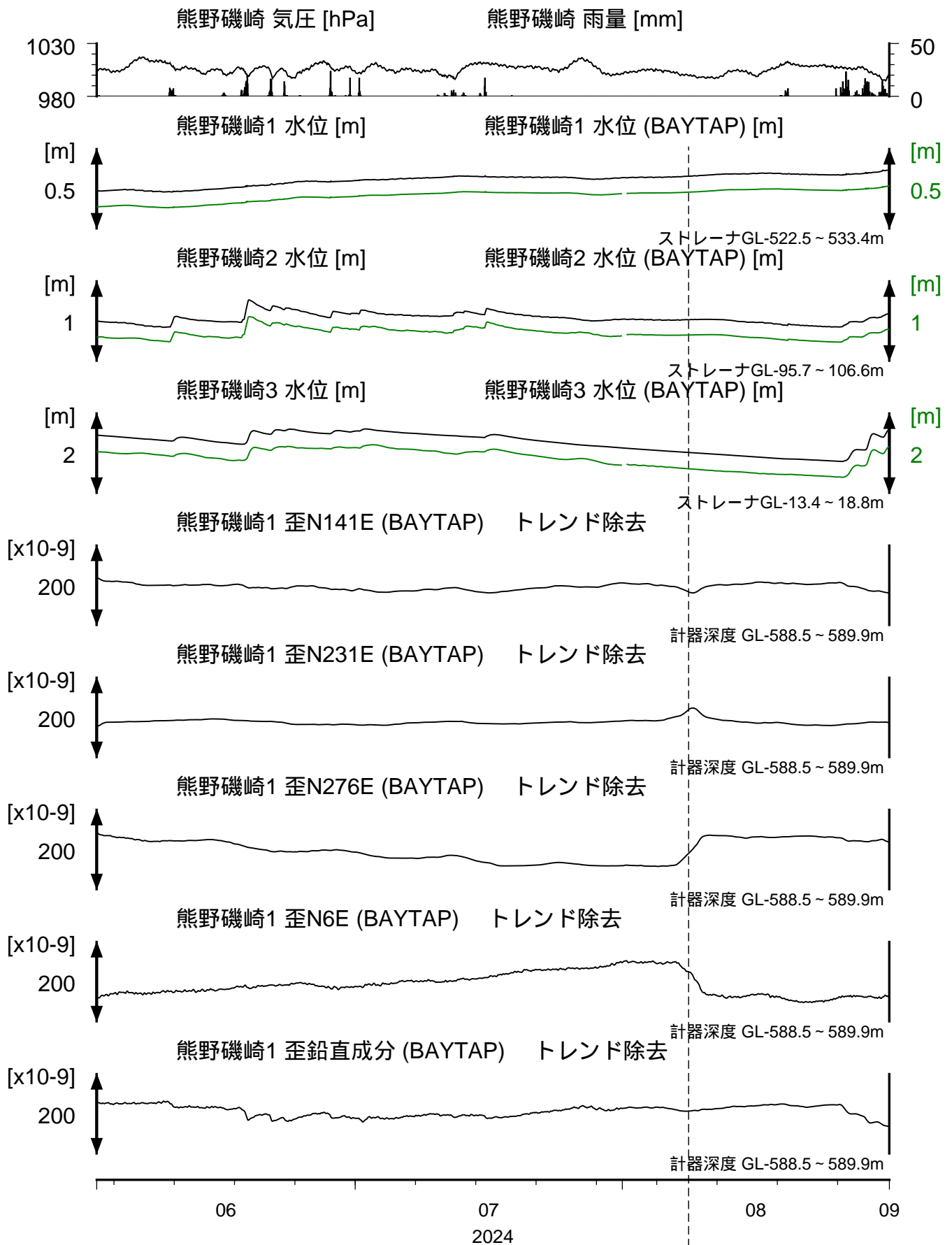
(2024/06/01 00:00 - 2024/09/01 00:00 (JST))



コメント：@;月初めの補正值のギャップは、  
解析プログラムの見せかけ上のものである。

2024.8.8.  
日向灘の地震  
M7.1

# ICU 熊野磯崎 地下水位・歪（時間値） (2024/06/01 00:00 - 2024/09/01 00:00 (JST))



コメント：特記事項なし。

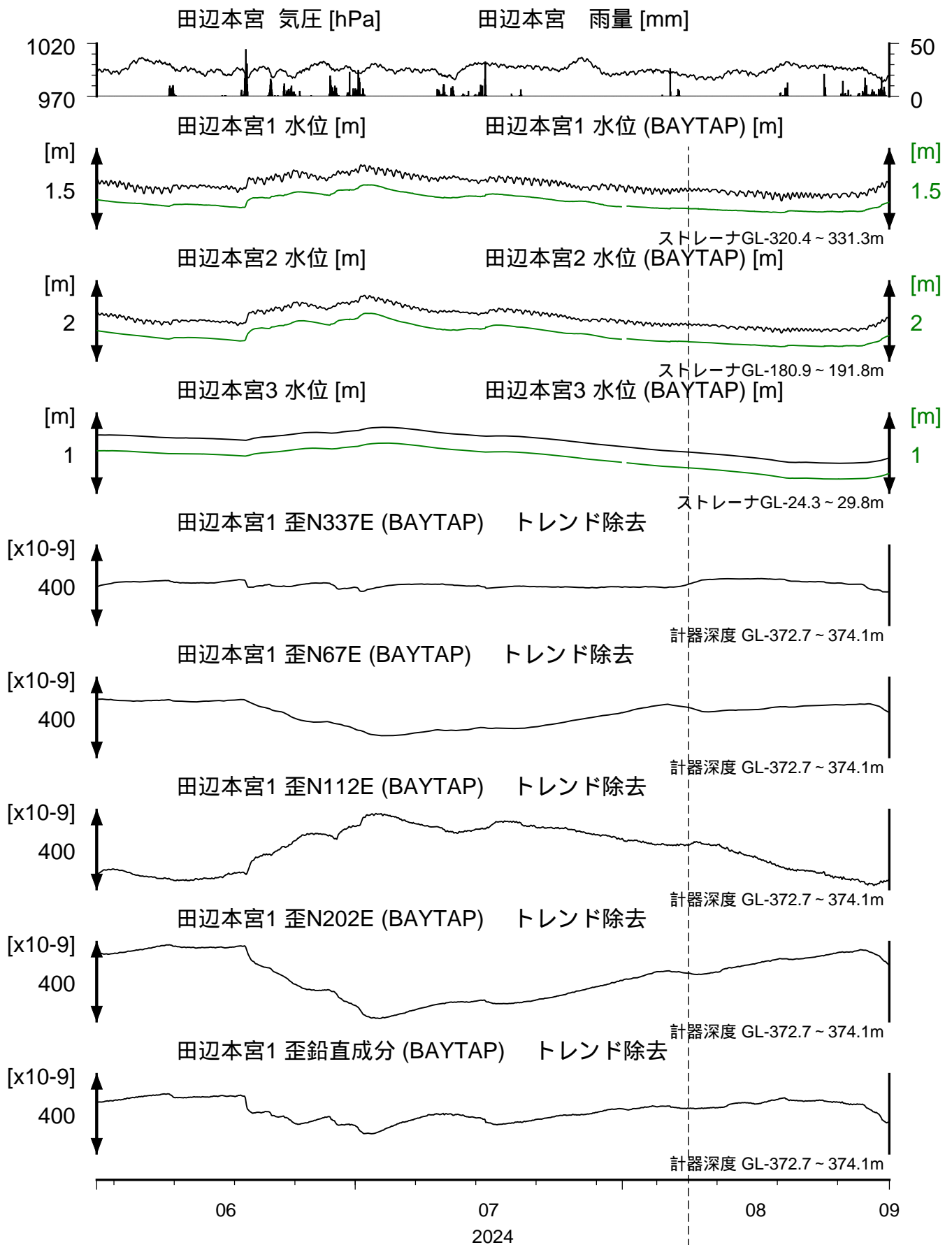
2024.8.8.  
日向灘の地震  
M7.1





# HGM 田辺本宮 地下水位・歪 (時間値)

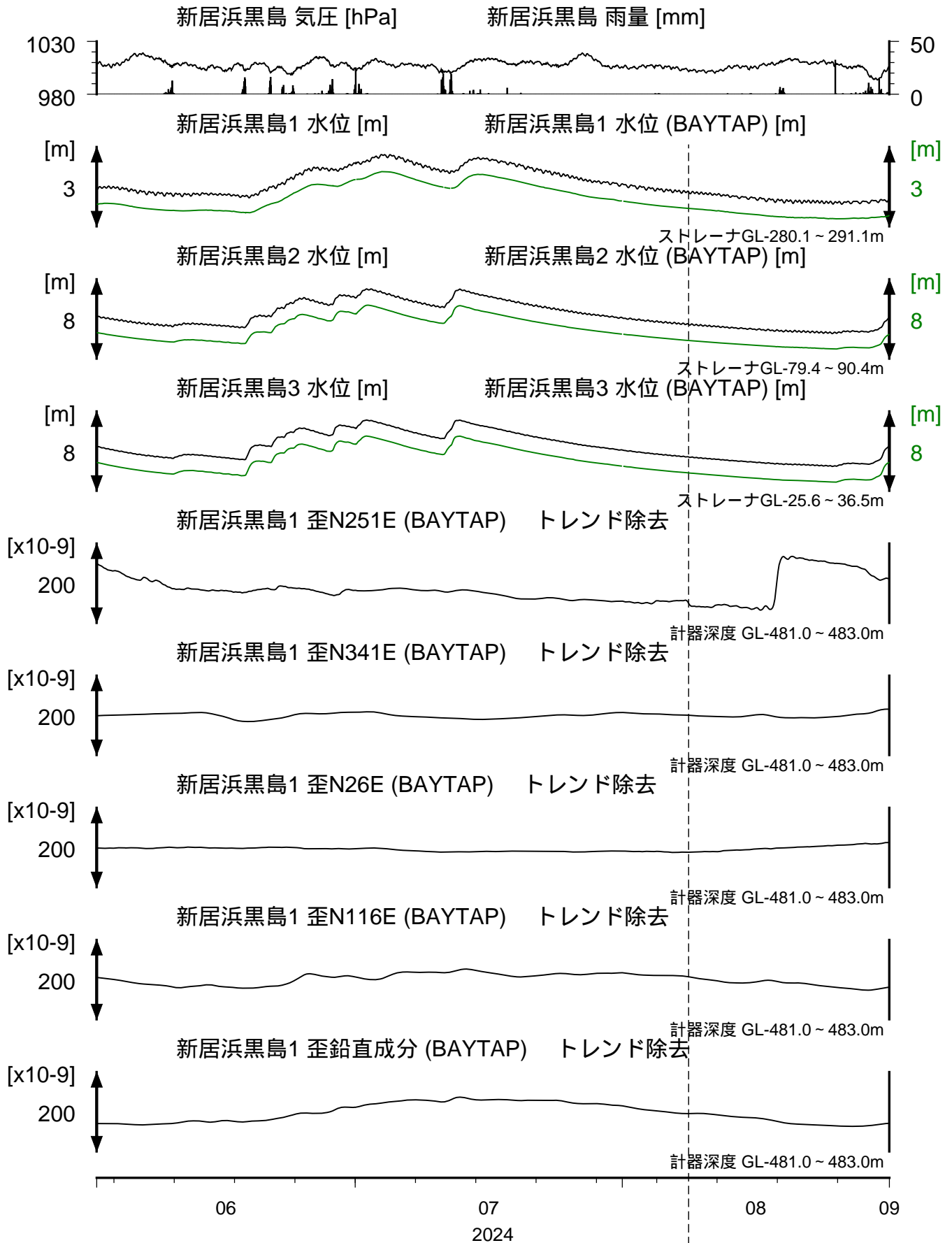
(2024/06/01 00:00 - 2024/09/01 00:00 (JST))



コメント：特記事項なし。



NHK 新居浜黒島 地下水位・歪 (時間値)  
 (2024/06/01 00:00 - 2024/09/01 00:00 (JST))



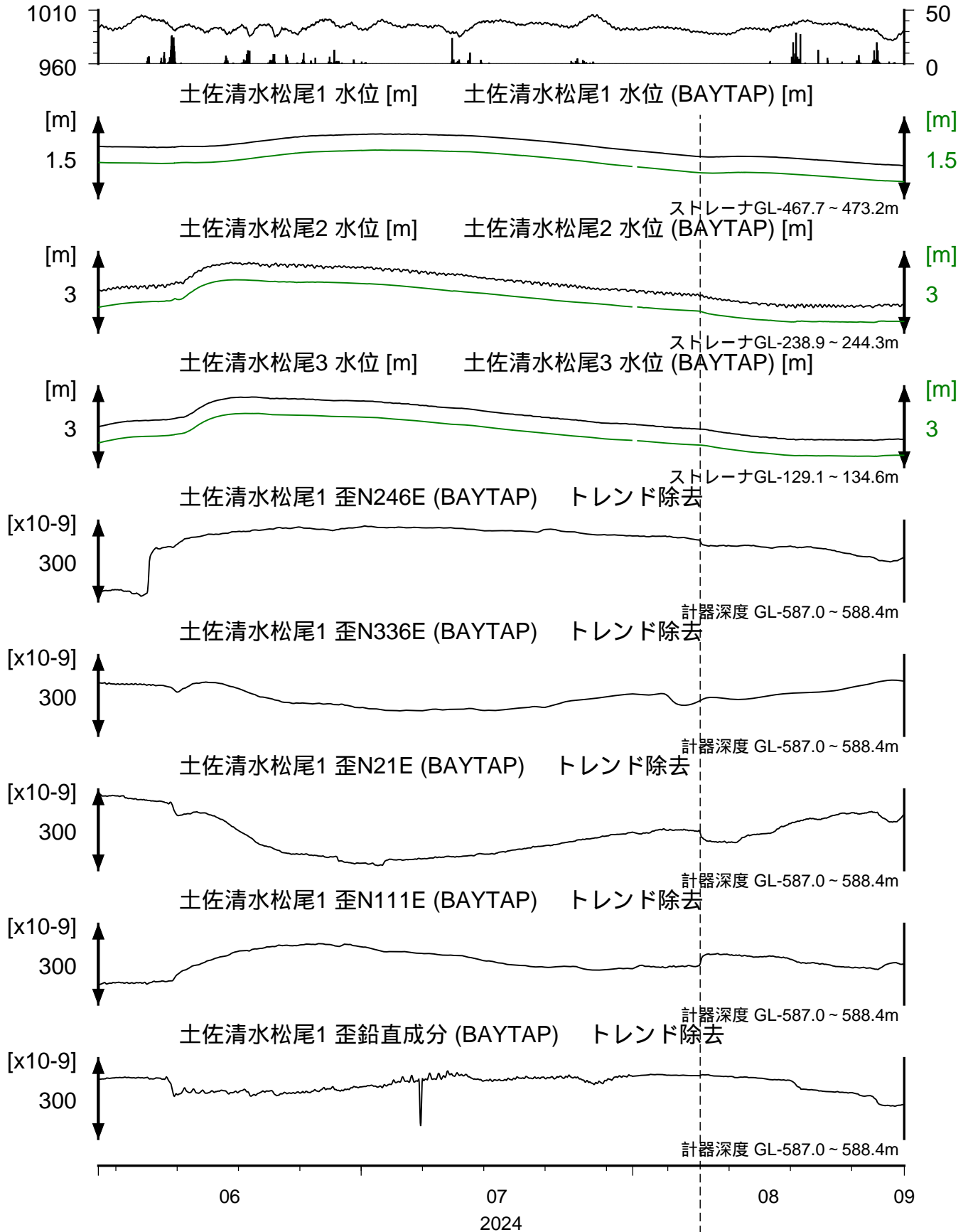
コメント：特記事項なし。

2024.8.8.  
日向灘の地震  
M7.1



# TSS 土佐清水松尾 地下水位・歪 (時間値) (2024/06/01 00:00 - 2024/09/01 00:00 (JST))

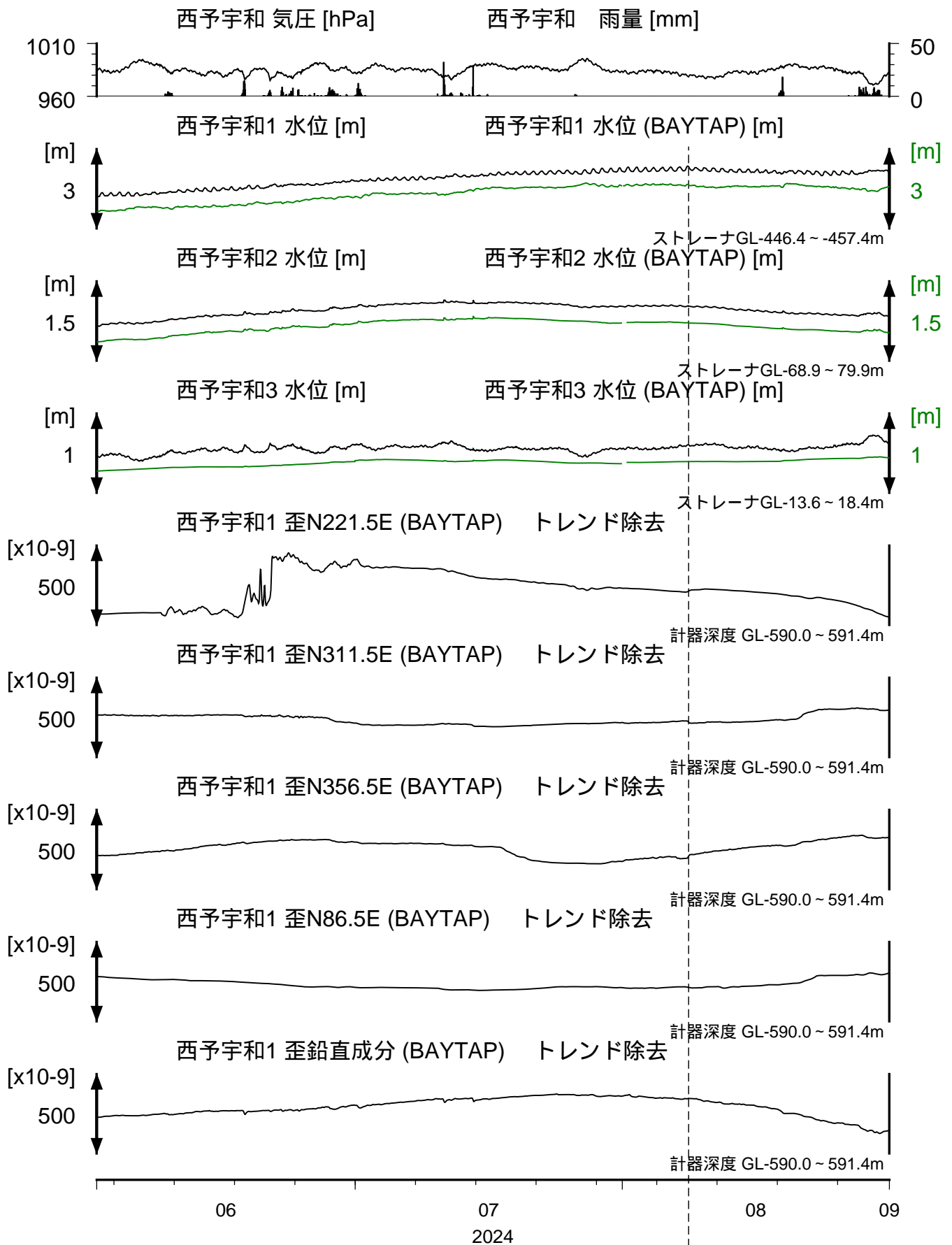
土佐清水松尾 気圧 [hPa] 土佐清水松尾 雨量 [mm]



コメント：特記事項なし。

2024.8.8.  
日向灘の地震  
M7.1

# UWA 西予宇和 地下水位・歪（時間値） (2024/06/01 00:00 - 2024/09/01 00:00 (JST))



コメント：特記事項なし。

## 東海・紀伊半島・四国における短期的 SSE 解析結果

産業技術総合研究所

2024年8月3日～19日にかけて、紀伊半島から東海地方にかけて深部低周波地震が観測された(図1)。図2～7は周辺の産総研・防災科研・気象庁・静岡県の観測点における歪・傾斜の観測結果である。これらの結果はBAYTAP-Gにより気圧応答成分、潮汐成分およびホワイトノイズ成分を取り除き、2024年7月20日～26日のデータを用いて1次トレンドを除去したものである。

図8～12は図2～7[A]～[E]の変化を説明する短期的SSEの断層モデルの推定結果(順にMw5.6, 5.7, 5.8, 5.4, 5.9)である。今回の活動域付近における最近の短期的SSEの活動は、2024年6月16日～24日午前(Mw5.4, 6.0; 図8～12の灰色矩形1, 2), 2024年5月30日午後～6月1日(Mw5.7; 同3), 2024年1月2日午後～6日午前(Mw5.6, 5.8, 5.8; 同4, 5, 6), 2023年12月25日～30日(Mw5.9; 同7)である。

2024年8月16日～24日にかけて、四国地方中部から西部にかけて深部低周波地震が観測された(図13)。図14, 15は周辺の産総研・防災科研の観測点における歪・傾斜の観測結果である。これらの結果はBAYTAP-Gにより気圧応答成分、潮汐成分およびホワイトノイズ成分を取り除き、2024年8月5日～11日のデータを用いて1次トレンドを除去したものである。

図16～18は図14, 15[A]～[C]の変化を説明する短期的SSEの断層モデルの推定結果(順にMw5.7, 5.5, 5.6)である。今回の活動域付近における最近の短期的SSEの活動は、2023年12月5日～6日(Mw6.0; 図16～18の灰色矩形1), 2023年12月24日～31日午前(Mw6.0; 同2), 2024年4月12日～17日午前(Mw5.9; 同3), 2024年6月21日～27日午前(Mw6.1; 同4), 2024年7月4日～6日(Mw5.8; 同5)である。

### 解析方法

短期的SSEの断層面推定には、各観測点の水平歪4成分、体積歪、地下水圧、もしくは傾斜2成分の記録を用いる。地下水圧は、O1およびM2分潮の振幅をBAYTAP-G [Tamura et al., 1991]により計算し、GOTIC2 [Matsumoto et al., 2001]により推定した地球固体潮汐および海洋荷重潮汐(O1およびM2分潮)との振幅比を用いて、体積歪に変換する。歪・地下水・傾斜ともに、観測波形からBAYTAP-Gにより、気圧応答成分、潮汐成分およびホワイトノイズ成分を取り除く。また、イベント直前の期間を用いて1次トレンドも取り除く。微動活動も参考にして、数時間～半日単位で活動開始・終了時期を判断し、その期間の変化量を短期的SSEによる変化量とする。その際、歪についてはMatsumoto et al. [2010]の手法で理論潮汐歪を用いてキャリブレーションを行っている。

断層面の推定は、板場ほか[2012]の手法を用いて次の2段階で行う。1段階目では、断層面の位置(0.1°間隔)とすべり量(1-50 mm)を可変とする。幅・長さともに20 kmに固定した断層面をフィリピン海プレート境界面[弘瀬ほか, 2007]上で動かし、各位置での最適なすべり量を探す。結果を示す図には、それぞれの位置で残差を最小にするすべり量を与えたときの、観測値とそのすべり量による計算値(Okada [1992]による)との残差の総和の分布を示している。これにより、短期的SSEが生じている可能性が高い領域を絞り込むとともに、次の2段階目で推定された結果の任意性を確認する

ことができる。2段階目では、1段階目で絞り込んだ領域付近で、断層面の位置（0.1° 間隔）・すべり量（1-50 mm）・長さ（10-80 km の間で 1 km 間隔）および幅（10-50 km の間で 1 km 間隔）を可変として残差を最小にする解を求める。ただし、計算に使用している観測点数が少ない場合や、断層面と観測点配置の関係によっては解の任意性が高くなるので注意が必要である。

なお、残差はノイズレベルによって規格化している。これは異種の観測値を統合するための処置である。ノイズレベルの定義は、気圧応答、潮汐成分およびホワイトノイズ成分を取り除いた後（微動活動が活発な期間および周辺の日雨量 50 mm を超える時期を除く）の 24 時間階差の  $2\sigma$  である。深部低周波微動の検出・震源決定には、エンベロープ相関法を用いている。

## 謝辞

短期的 SSE の断層モデル推定には、防災科研 Hi-net 高感度加速度計（傾斜計）および気象庁の多成分歪計および体積歪計の記録とキャリブレーション係数を使用しました。微動の解析には、防災科研 Hi-net、気象庁、東京大学、京都大学、名古屋大学、高知大学、九州大学の地震波形記録を使用しました。低周波地震の震央位置表示には、気象庁の一元化カタログを使用しました。ここに記して感謝します。

## 参考文献

- 弘瀬冬樹, 中島淳一, 長谷川昭 (2007), Double-Difference Tomography 法による西南日本の 3 次元地震波速度構造およびフィリピン海プレートの形状の推定, *地震*, **60**, 1-20.
- 板場智史, 松本則夫, 北川有一, 小泉尚嗣, 松澤孝紀, 歪・傾斜・地下水統合解析による短期的スロースリップイベントのモニタリング, *日本地球惑星連合 2012 年大会*, 千葉, 5 月, 2012.
- Matsumoto, K., T. Sato, T. Takanezawa, and M. Ooe, GOTIC2: A Program for Computation of Oceanic Tidal Loading Effect, *J. Geod. Soc. Japan*, **47**, 243-248, 2001.
- Matsumoto, N., O. Kamigaichi, Y. Kitagawa, S. Itaba, and N. Koizumi (2010), In-situ Calibration of Borehole Strainmeter Using Green's Functions for Surface Point Load at a Depth of Deployment, *Eos, Trans. AGU*, Abstract G11A-0626.
- Okada, Y. (1992), Internal deformation due to shear and tensile faults in a half-space, *Bull. Seismol. Soc. Am.*, **82**, 1018-1040.
- Tamura, Y., T. Sato, M. Ooe and M. Ishiguro (1991), A procedure for tidal analysis with a Bayesian information criterion, *Geophys. J. Int.*, **104**, 507-516.



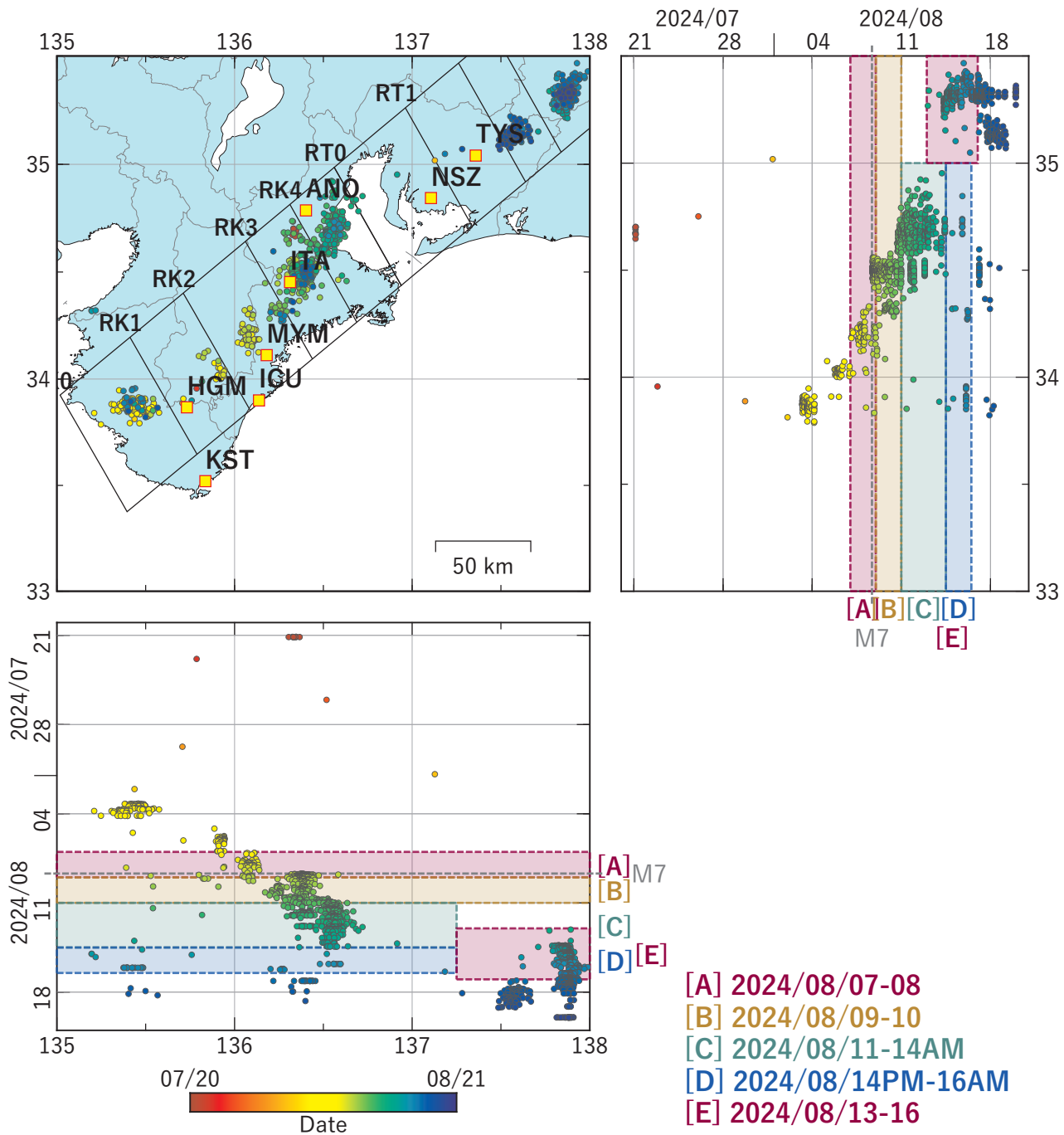


図1 紀伊半島から東海地方における深部低周波地震の時空間分布図。  
 (2024/07/20 00:00 - 2024/08/21 00:00 (JST))  
 気象庁カタログによる。

(観測点) TYS: 豊田神殿, NSZ: 西尾善明, ANO, 津安濃, ITA: 飯高松阪,  
 MYM: 紀北海山, ICU: 熊野磯崎, HGM: 田辺本宮, KST: 串本津荷

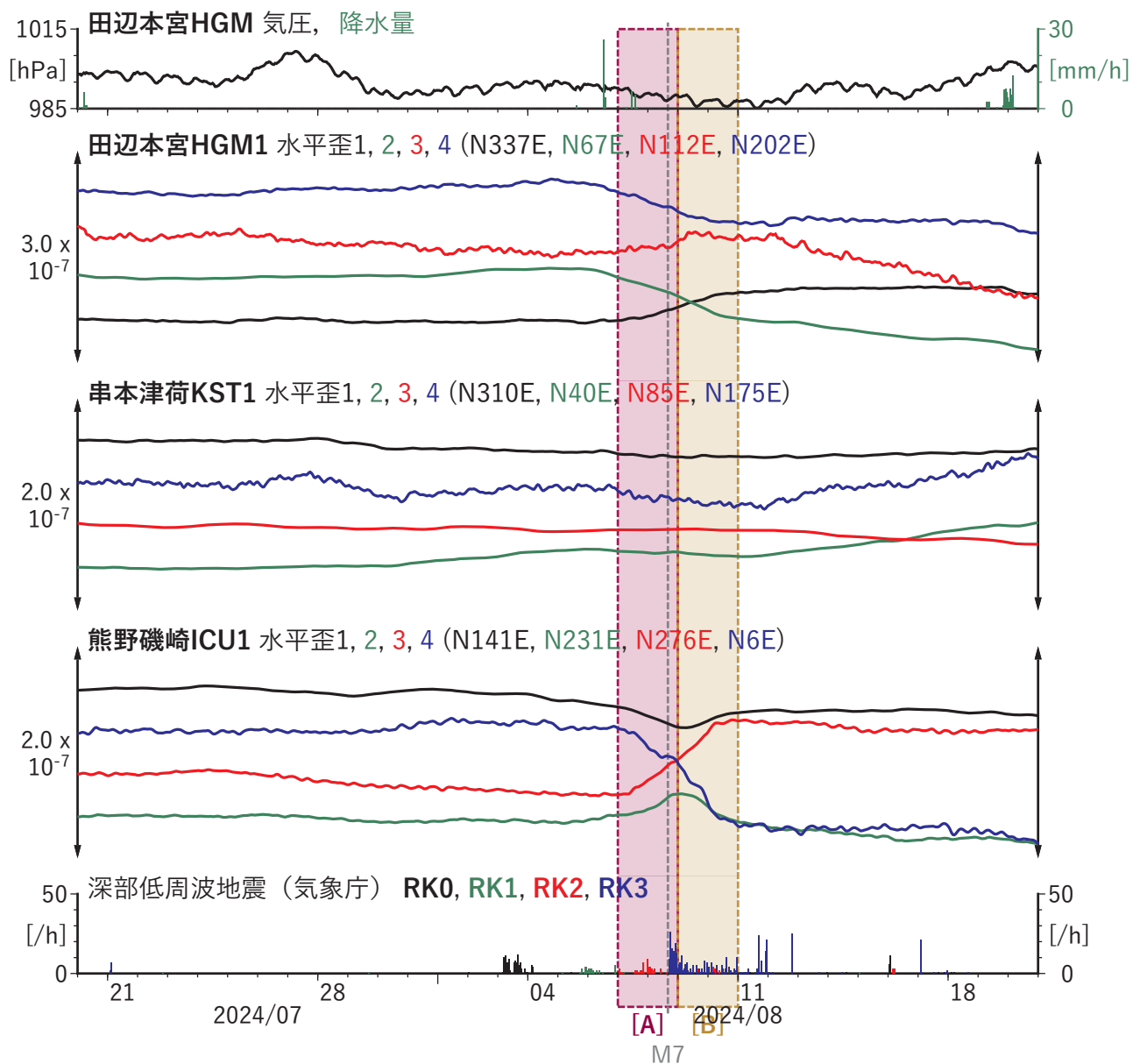


図2 紀伊半島における歪の時間変化  
(2024/07/20 00:00 - 2024/08/21 00:00 (JST))

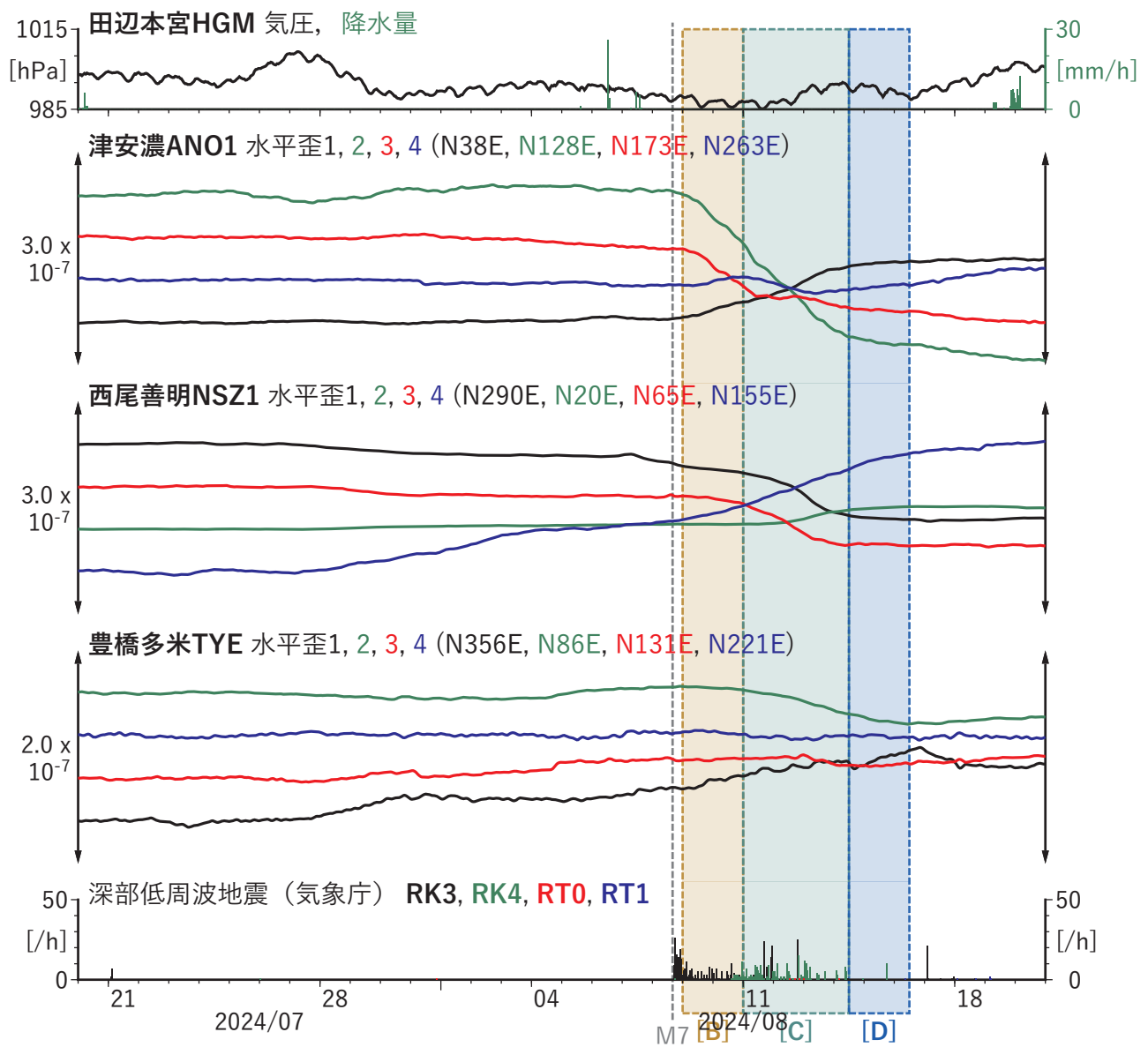


図3 紀伊半島から東海地方における歪の時間変化  
(2024/07/20 00:00 - 2024/08/21 00:00 (JST))

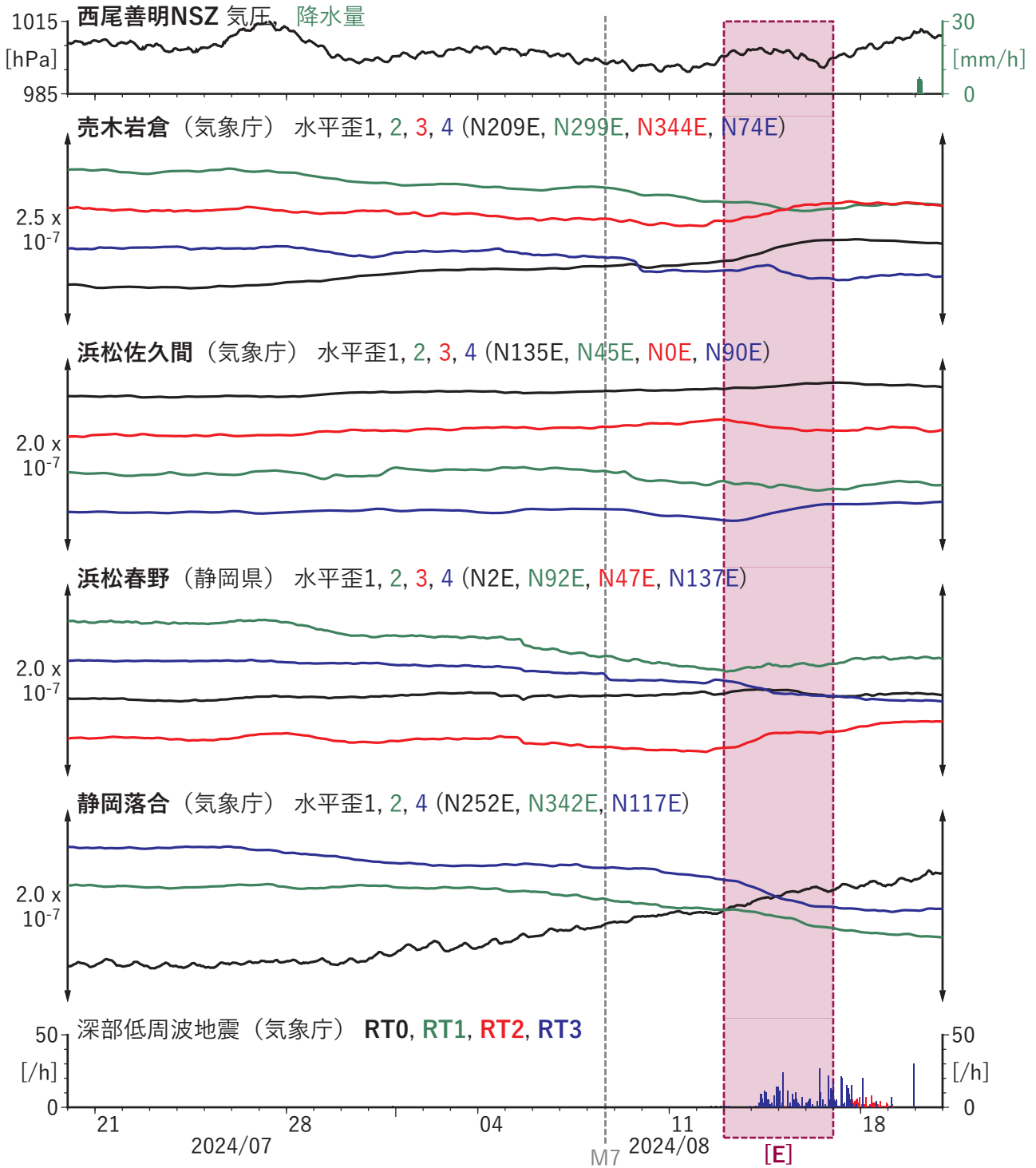


図4 東海地方における歪の時間変化  
(2024/07/20 00:00 - 2024/08/21 00:00 (JST))

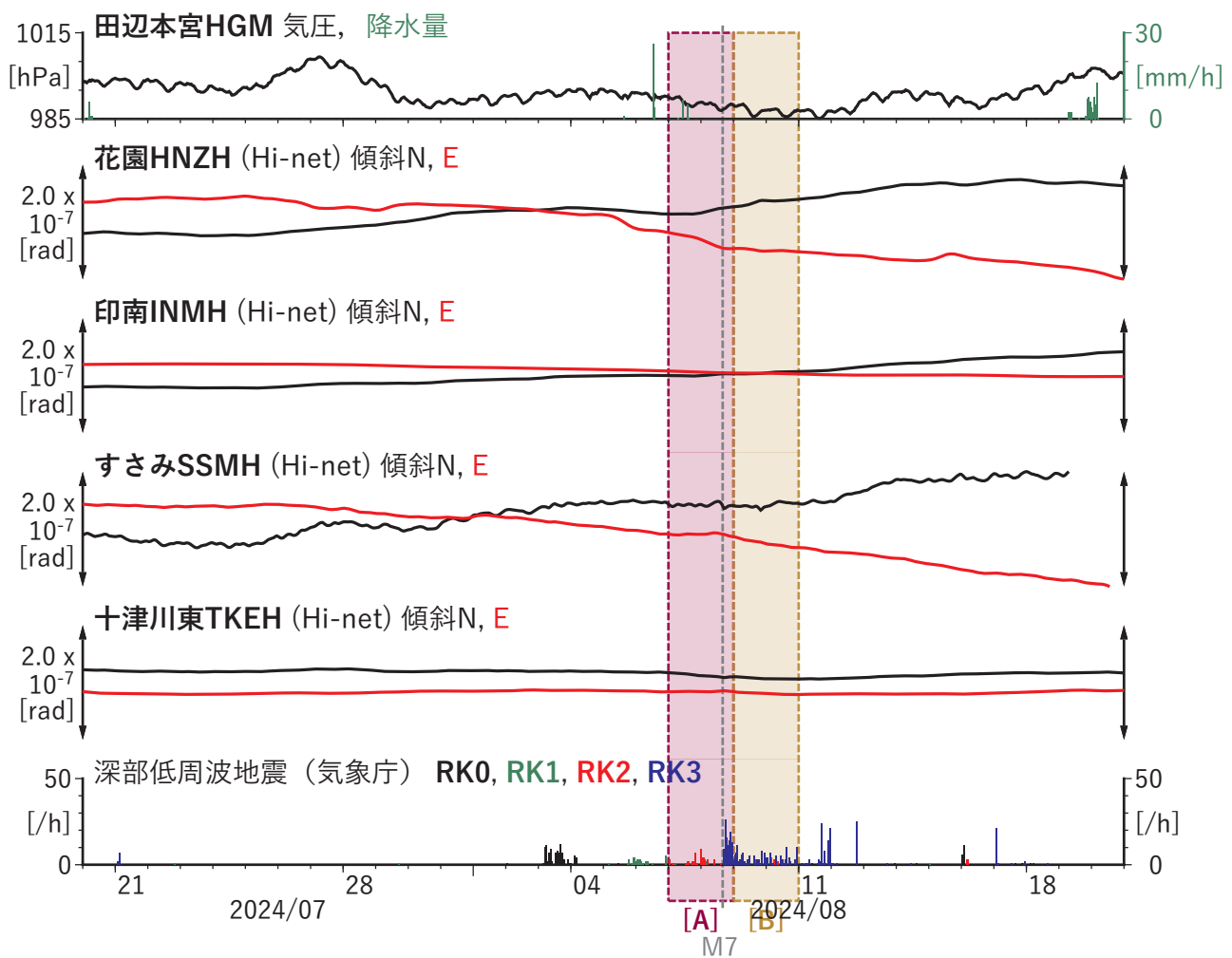


図5 紀伊半島における傾斜の時間変化  
(2024/07/20 00:00 - 2024/08/21 00:00 (JST))

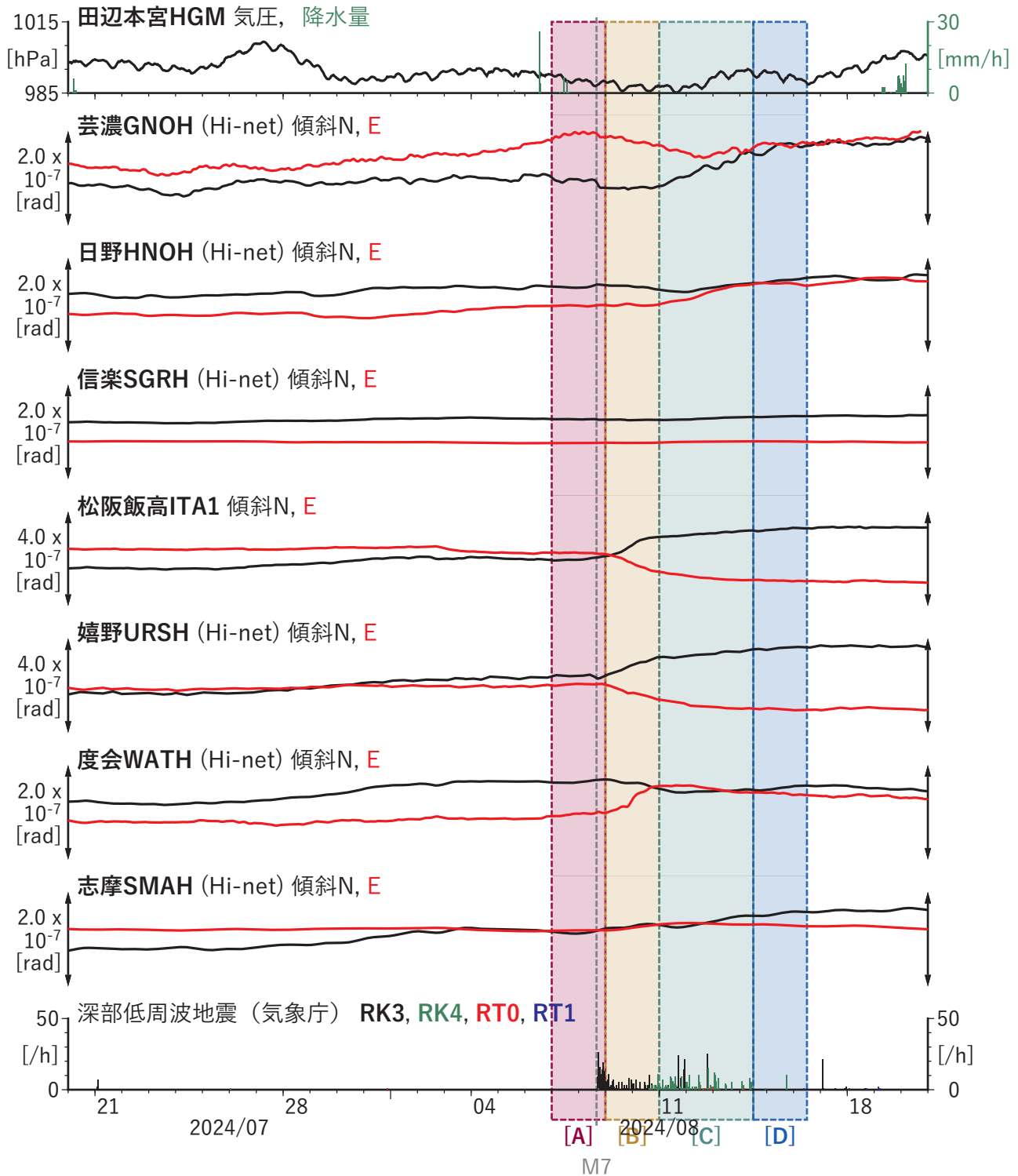


図6 紀伊半島における傾斜の時間変化  
(2024/07/20 00:00 - 2024/08/21 00:00 (JST))

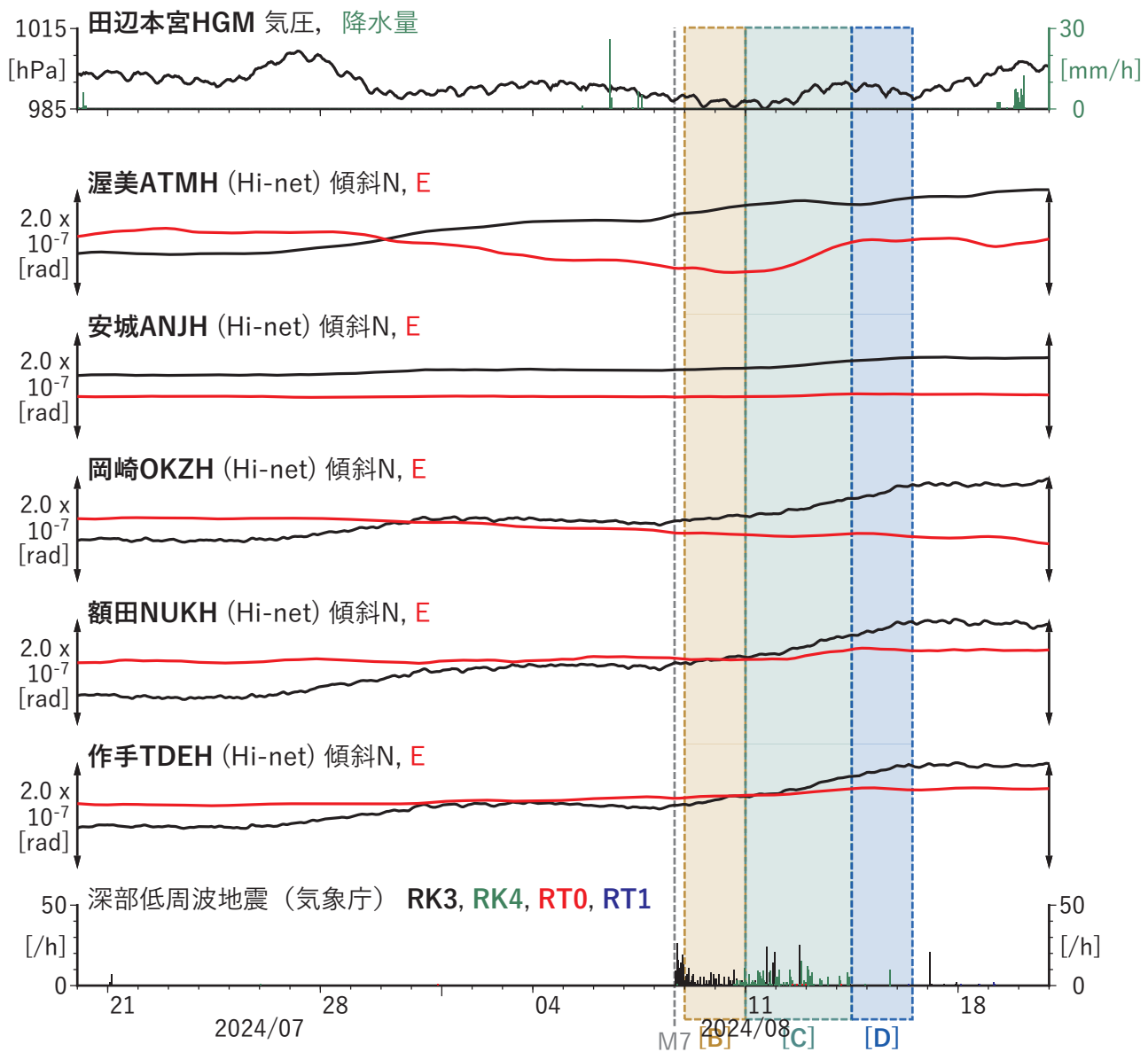
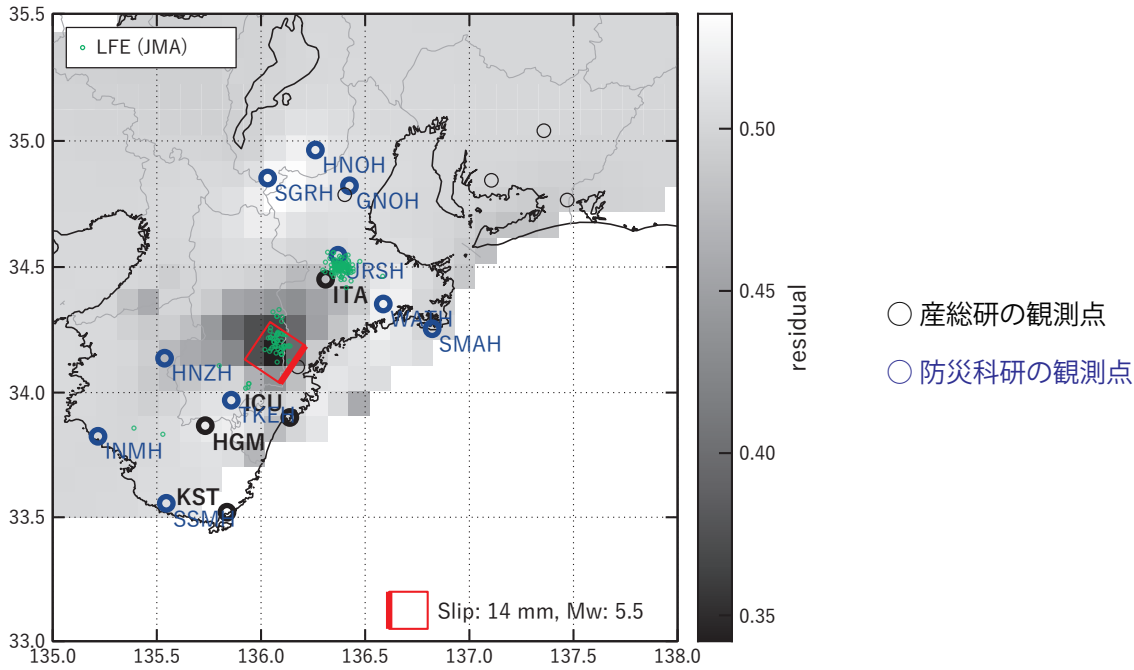


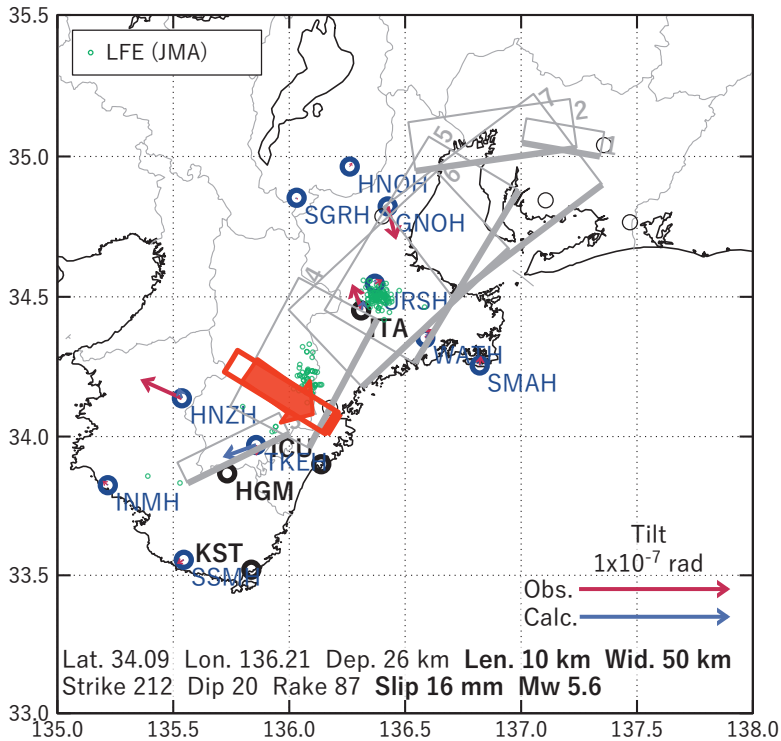
図7 東海地方における傾斜の時間変化  
(2024/07/20 00:00 - 2024/08/21 00:00 (JST))

[A] 2024/08/07-08

(a) 断層の大きさを固定した場合の断層モデルと残差分布



(b1) 推定した断層モデル



(b2) 主歪

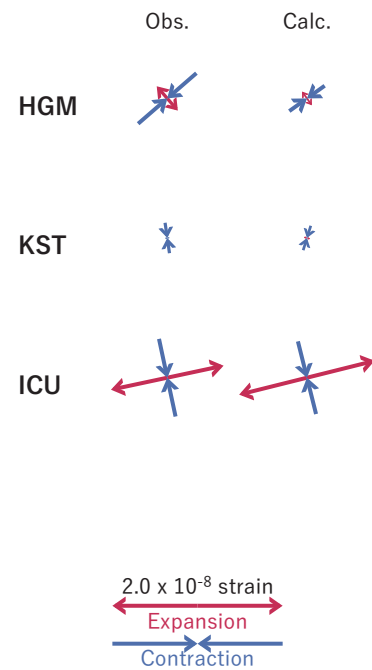


図8 2024/08/07 - 08 の歪・傾斜変化 (図2~7 [A]) を説明する断層モデル。

(a) プレート境界面に沿って分布させた20×20kmの矩形断層面を移動させ、各位置で残差の総和を最小とするすべり量を選んだ時の残差の総和の分布。赤色矩形が残差の総和が最小となる断層面の位置。

(b1) (a)の位置付近をグリッドサーチして推定した断層面(赤色矩形)と断層パラメータ。灰色矩形は最近周辺で発生したイベントの推定断層面。

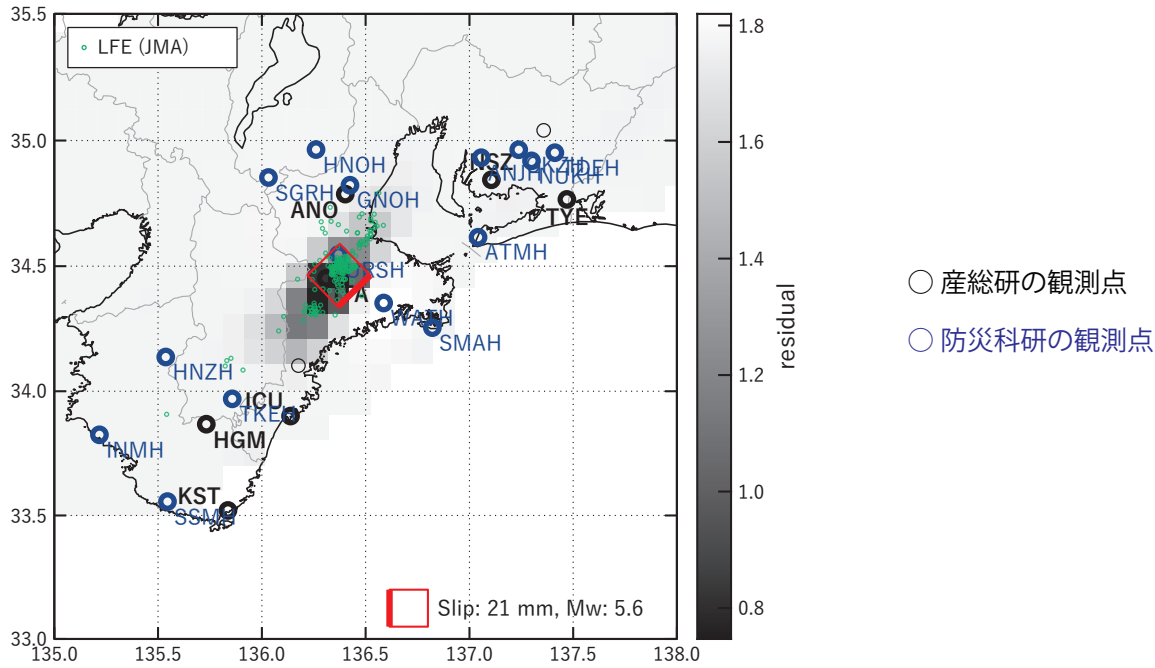
- 1: 2024/06/21-24AM (Mw5.4), 2: 2024/06/16PM-20 (Mw6.0), 3: 2024/05/30PM-06/01 (Mw5.7),
- 4: 2024/01/04PM-06AM (Mw5.6), 5: 2024/01/03PM-04AM (Mw5.8), 6: 2024/01/02PM-03AM (Mw5.8),
- 7: 2023/12/25-30 (Mw5.9)

(b2) 主歪の観測値と(b1)に示した断層モデルから求めた計算値との比較。

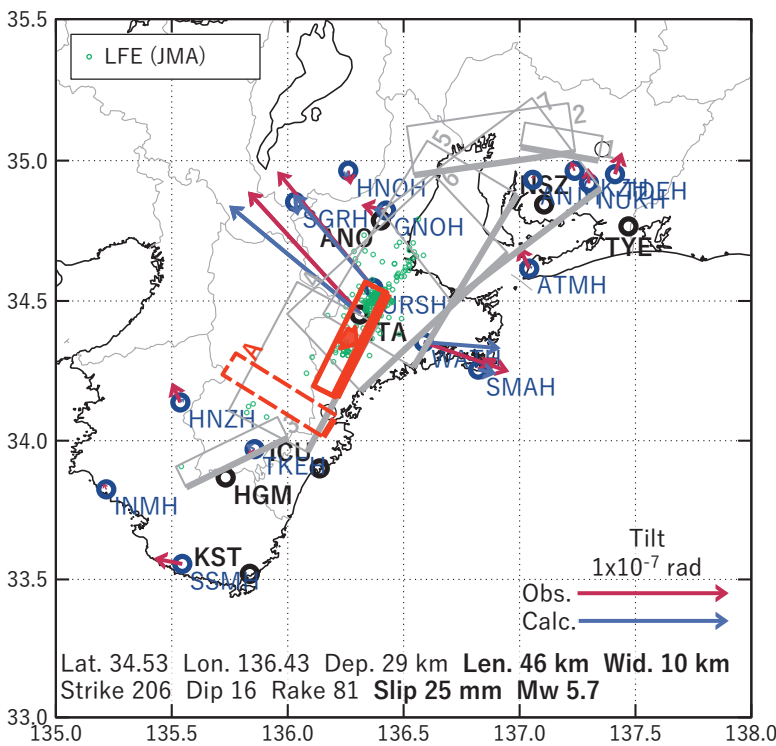


[B] 2024/08/09-10

(a) 断層の大きさを固定した場合の断層モデルと残差分布



(b1) 推定した断層モデル



(b2) 主歪

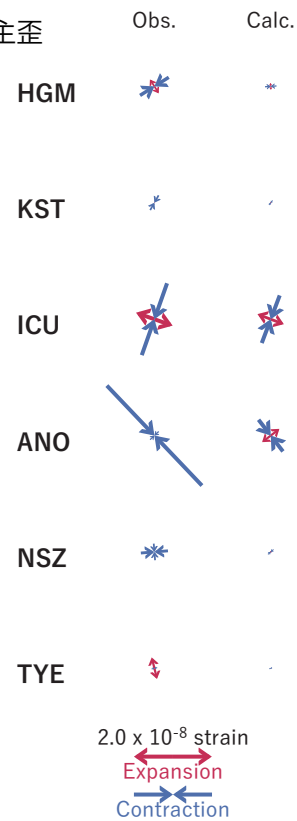


図9 2024/08/09 - 10の歪・傾斜変化 (図2~7 [B]) を説明する断層モデル。

(a) プレート境界面に沿って分布させた20×20kmの矩形断層面を移動させ、各位置で残差の総和を最小とするすべり量を選んだ時の残差の総和の分布。赤色矩形が残差の総和が最小となる断層面の位置。

(b1) (a)の位置付近をグリッドサーチして推定した断層面(赤色矩形)と断層パラメータ。灰色矩形は最近周辺で発生したイベントの推定断層面。

1: 2024/06/21-24AM (Mw5.4), 2: 2024/06/16PM-20 (Mw6.0), 3: 2024/05/30PM-06/01 (Mw5.7),

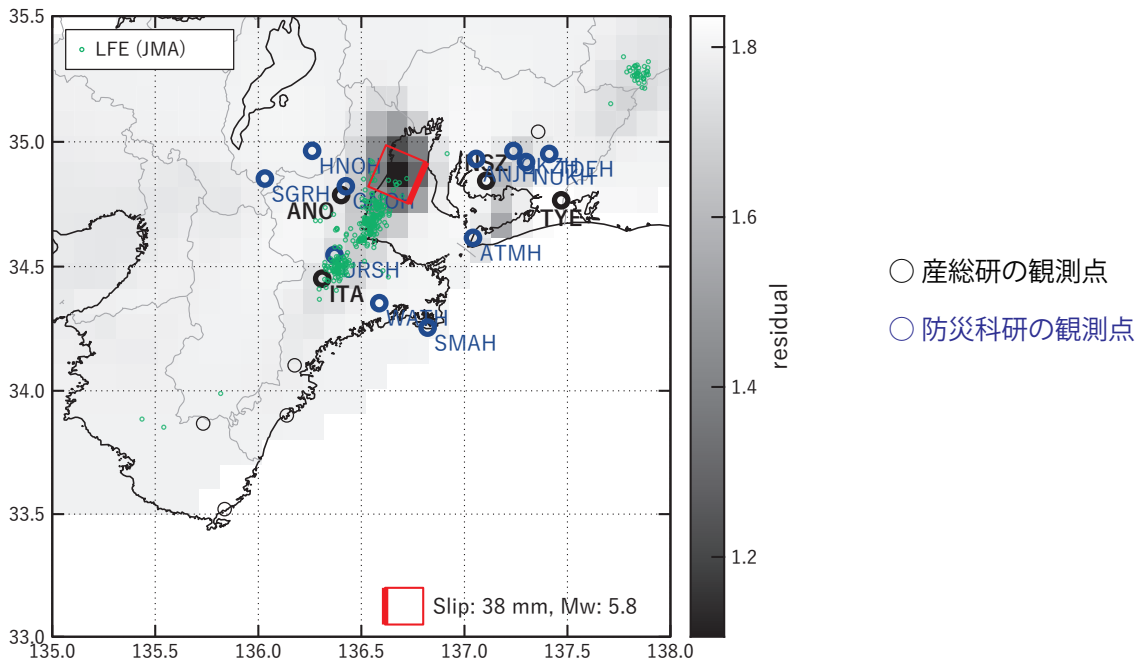
4: 2024/01/04PM-06AM (Mw5.6), 5: 2024/01/03PM-04AM (Mw5.8), 6: 2024/01/02PM-03AM (Mw5.8),

7: 2023/12/25-30 (Mw5.9)

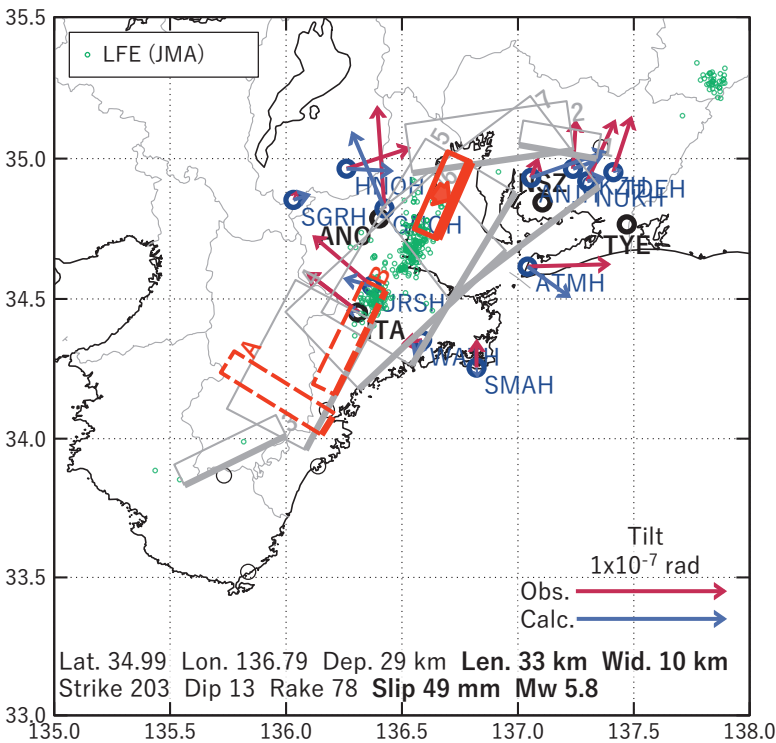
(b2) 主歪の観測値と(b1)に示した断層モデルから求めた計算値との比較。

[C] 2024/08/11-14AM

(a) 断層の大きさを固定した場合の断層モデルと残差分布



(b1) 推定した断層モデル



(b2) 主歪

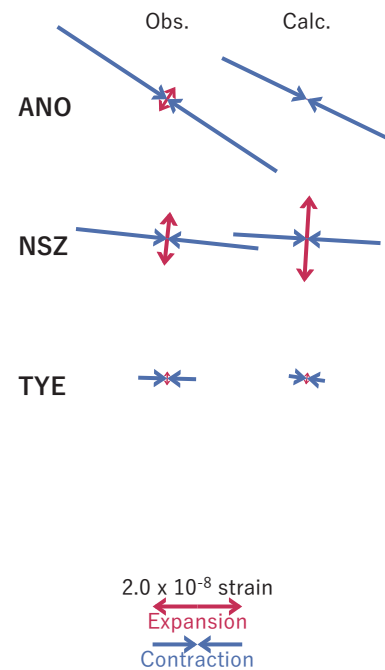


図10 2024/08/11-14AM の歪・傾斜変化 (図2~7 [C]) を説明する断層モデル。

(a) プレート境界面に沿って分布させた20×20kmの矩形断層面を移動させ、各位置で残差の総和を最小とするすべり量を選んだ時の残差の総和の分布。赤色矩形が残差の総和が最小となる断層面の位置。

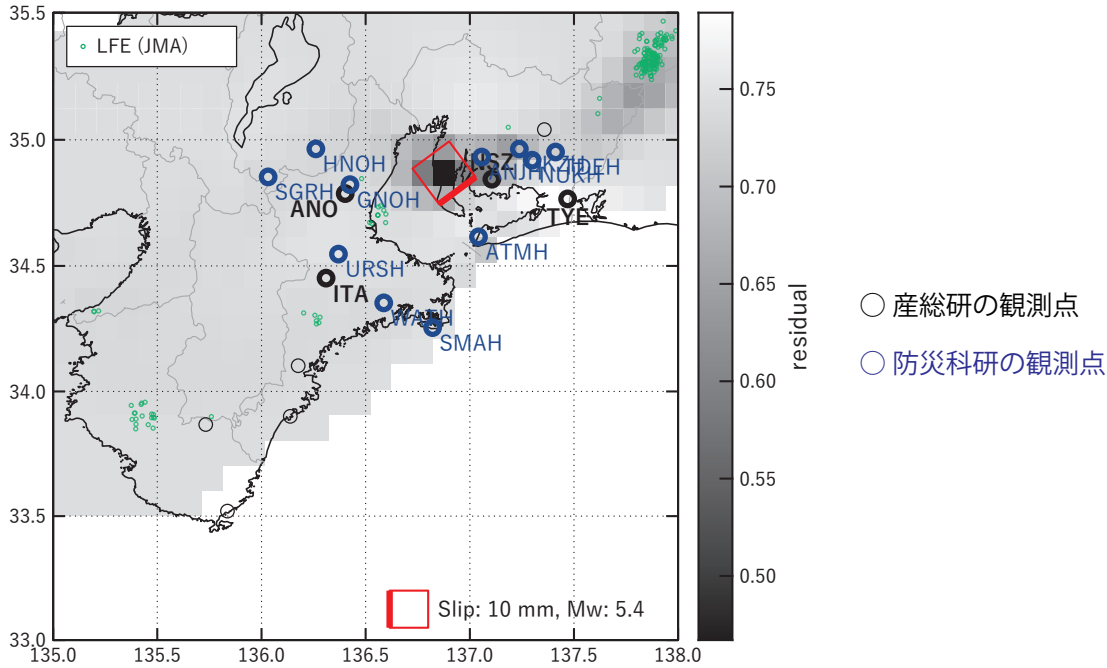
(b1) (a)の位置付近をグリッドサーチして推定した断層面 (赤色矩形) と断層パラメータ。灰色矩形は最近周辺で発生したイベントの推定断層面。

- 1: 2024/06/21-24AM (Mw5.4), 2: 2024/06/16PM-20 (Mw6.0), 3: 2024/05/30PM-06/01 (Mw5.7),
- 4: 2024/01/04PM-06AM (Mw5.6), 5: 2024/01/03PM-04AM (Mw5.8), 6: 2024/01/02PM-03AM (Mw5.8),
- 7: 2023/12/25-30 (Mw5.9)

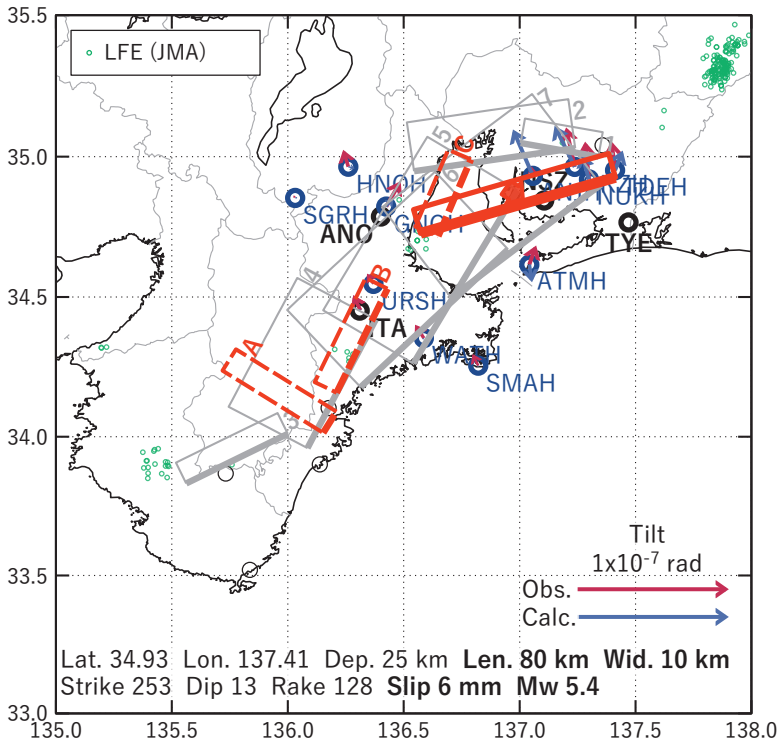
(b2) 主歪の観測値と(b1)に示した断層モデルから求めた計算値との比較。

[D] 2024/08/14PM-16AM

(a) 断層の大きさを固定した場合の断層モデルと残差分布



(b1) 推定した断層モデル



(b2) 主歪

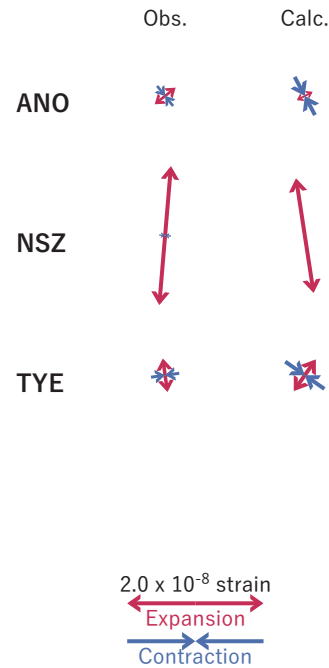


図11 2024/08/14PM-16AM の歪・傾斜変化 (図2~7 [D]) を説明する断層モデル。

(a) プレート境界面に沿って分布させた20×20kmの矩形断層面を移動させ、各位置で残差の総和を最小とするすべり量を選んだ時の残差の総和の分布。赤色矩形が残差の総和が最小となる断層面の位置。

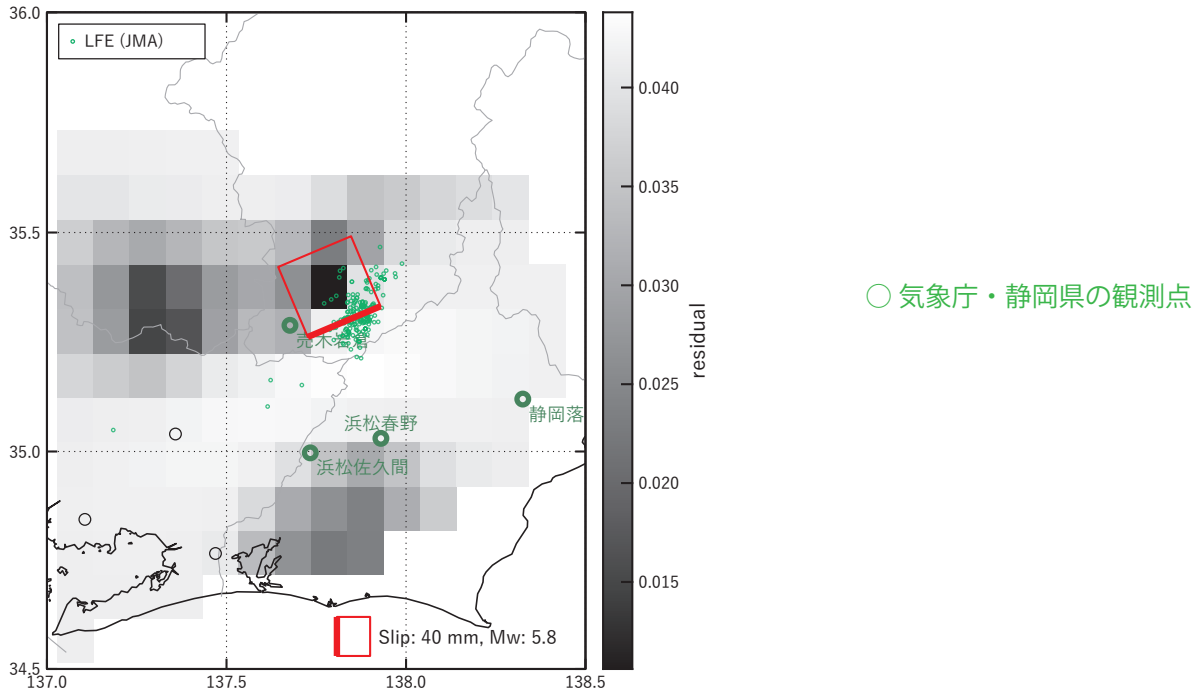
(b1) (a)の位置付近をグリッドサーチして推定した断層面(赤色矩形)と断層パラメータ。灰色矩形は最近周辺で発生したイベントの推定断層面。

1: 2024/06/21-24AM (Mw5.4), 2: 2024/06/16PM-20 (Mw6.0), 3: 2024/05/30PM-06/01 (Mw5.7),  
 4: 2024/01/04PM-06AM (Mw5.6), 5: 2024/01/03PM-04AM (Mw5.8), 6: 2024/01/02PM-03AM (Mw5.8),  
 7: 2023/12/25-30 (Mw5.9)

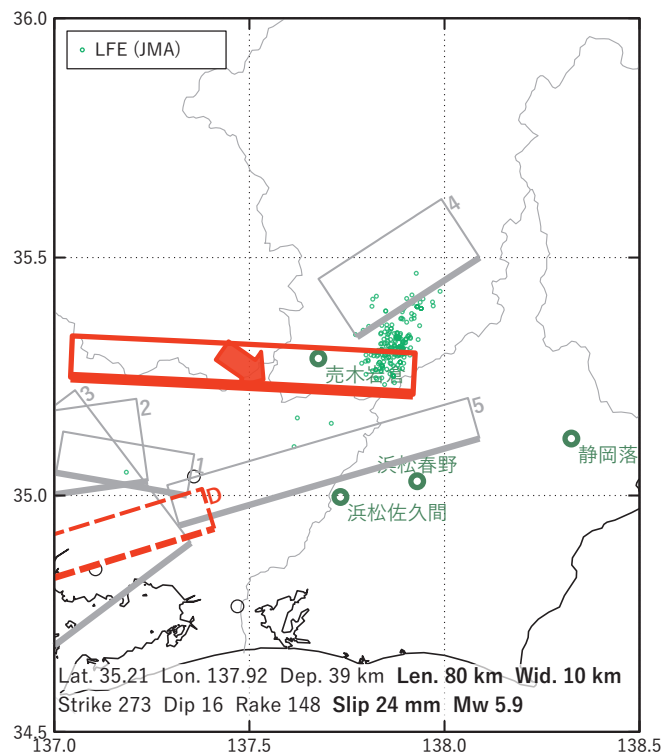
(b2) 主歪の観測値と(b1)に示した断層モデルから求めた計算値との比較。

[E] 2024/08/13-16

(a) 断層の大きさを固定した場合の断層モデルと残差分布



(b1) 推定した断層モデル



(b2) 主歪

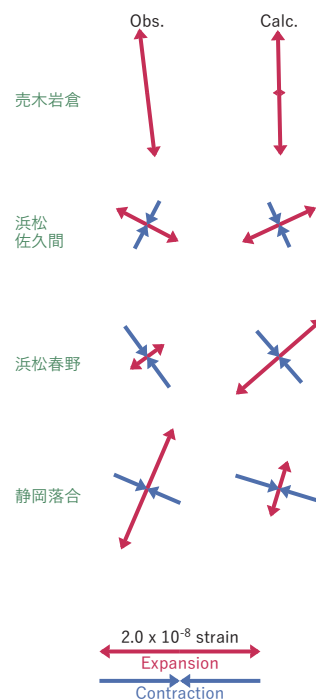


図12 2024/08/13 - 16 の歪・傾斜変化 (図2~7 [E]) を説明する断層モデル。

(a) プレート境界面に沿って分布させた20×20kmの矩形断層面を移動させ、各位置で残差の総和を最小とするすべり量を選んだ時の残差の総和の分布。赤色矩形が残差の総和が最小となる断層面の位置。

(b1) (a)の位置付近をグリッドサーチして推定した断層面 (赤色矩形) と断層パラメータ。灰色矩形は最近周辺で発生したイベントの推定断層面。

1: 2024/06/21-24AM (Mw5.4), 2: 2024/06/16PM-20 (Mw6.0), 3: 2023/12/25-30 (Mw5.9)

4: 2023/09/30PM-10/02 (Mw5.7), 5: 2023/09/15-17 (Mw5.8)

(b2) 主歪の観測値と(b1)に示した断層モデルから求めた計算値との比較。

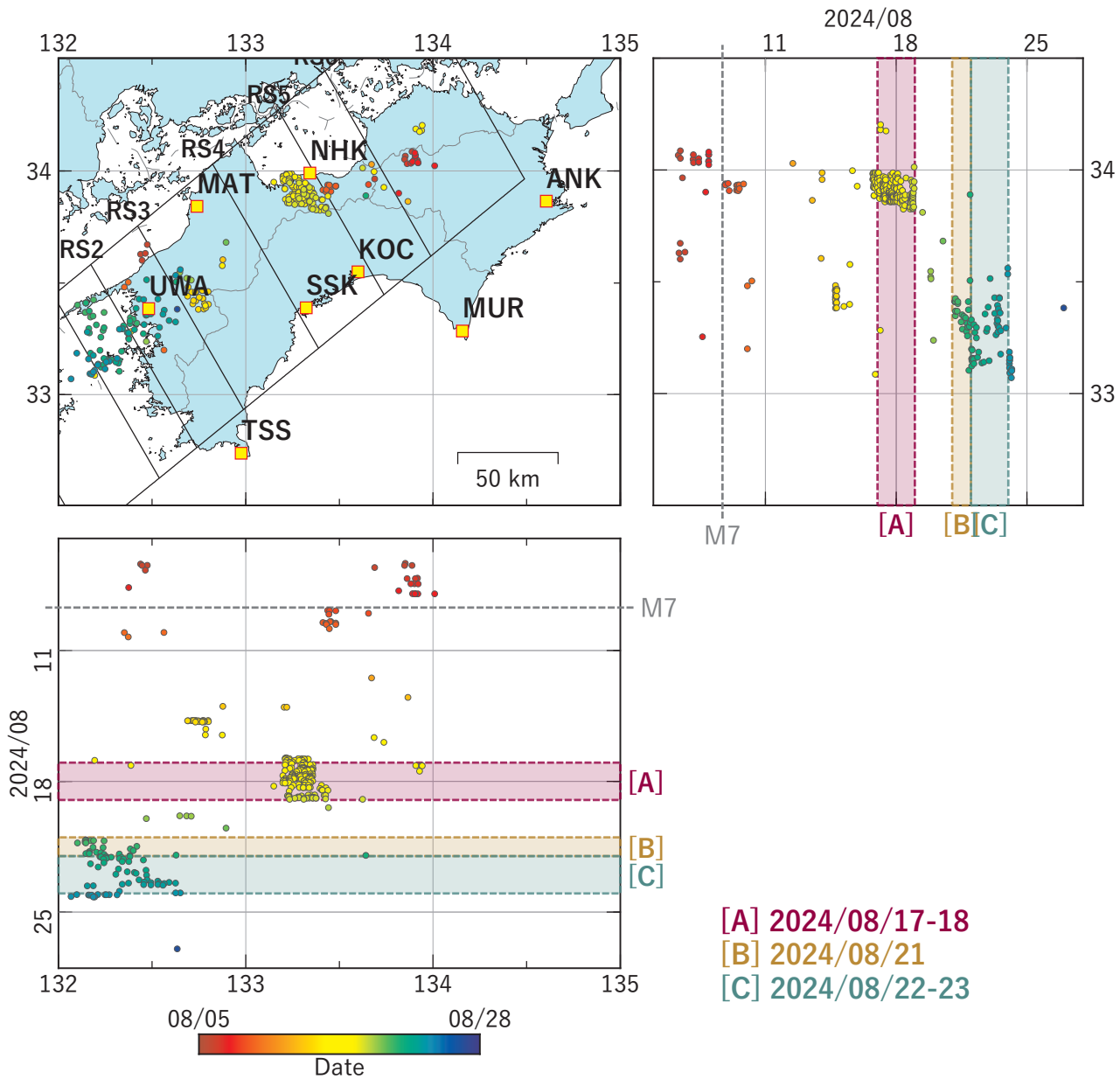


図13 四国地方における深部低周波地震の時空間分布図。  
 (2024/08/05 00:00 - 2024/08/28 00:00 (JST))  
 気象庁カタログによる。

(観測点) UWA: 西予宇和, TSS: 土佐清水松尾, SSK, 須崎大谷, MAT: 松山南江戸,  
 NHK: 新居浜黒島, KOC: 高知五台山, MUR: 室戸岬, ANK: 阿南桑野

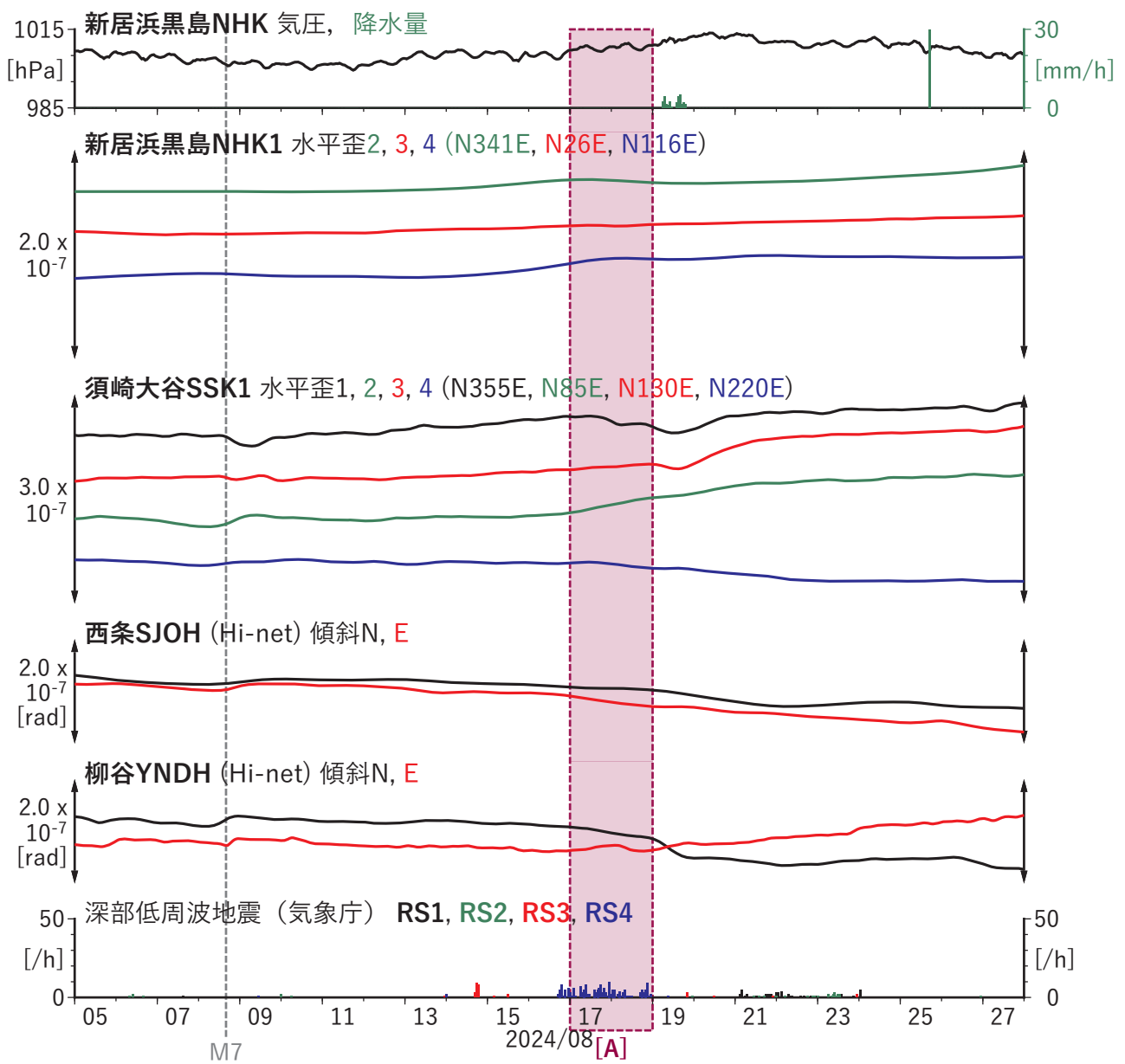


図14 四国地方中部における歪・傾斜の時間変化  
(2024/08/05 00:00 - 2024/08/28 00:00 (JST))

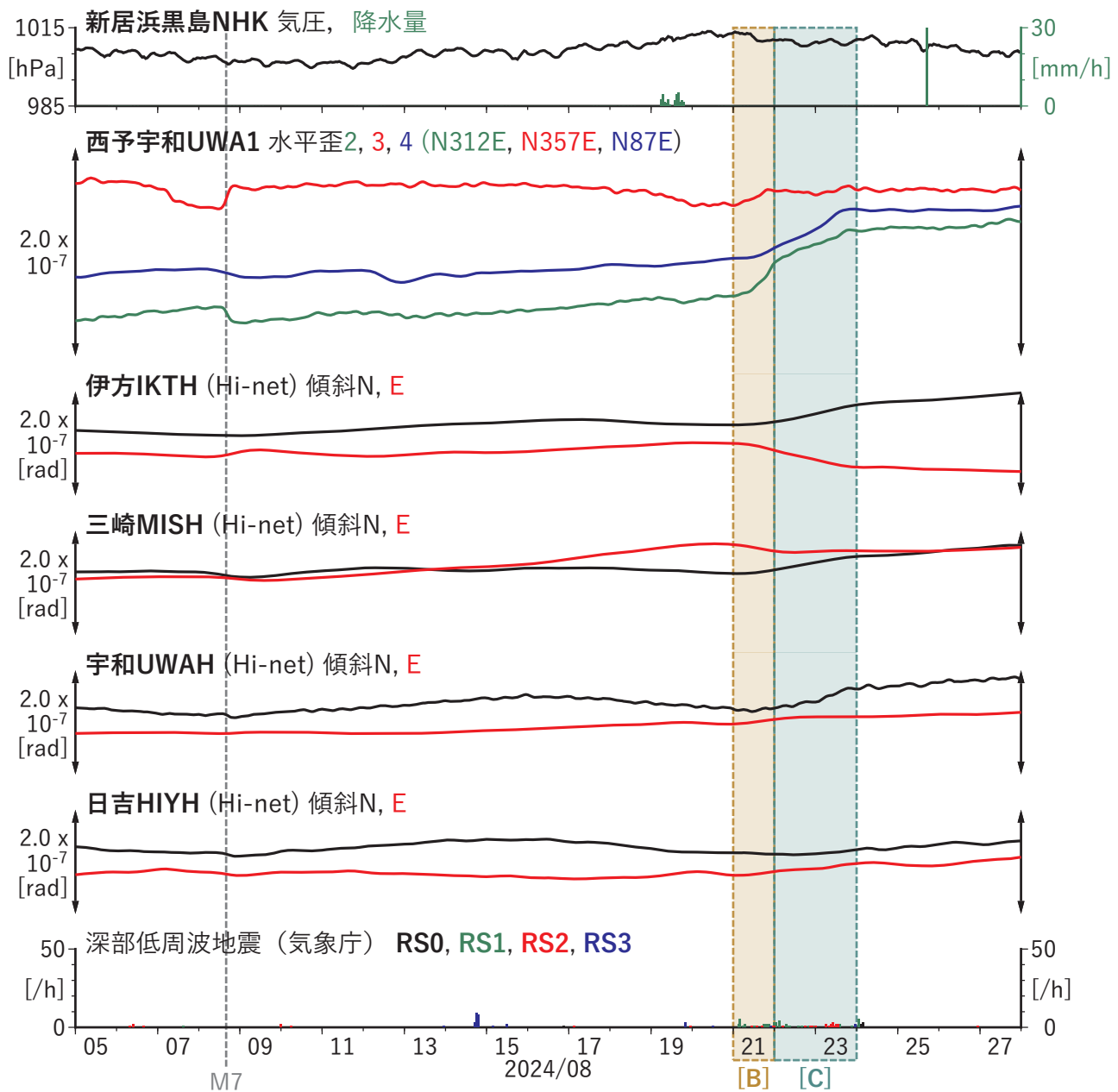


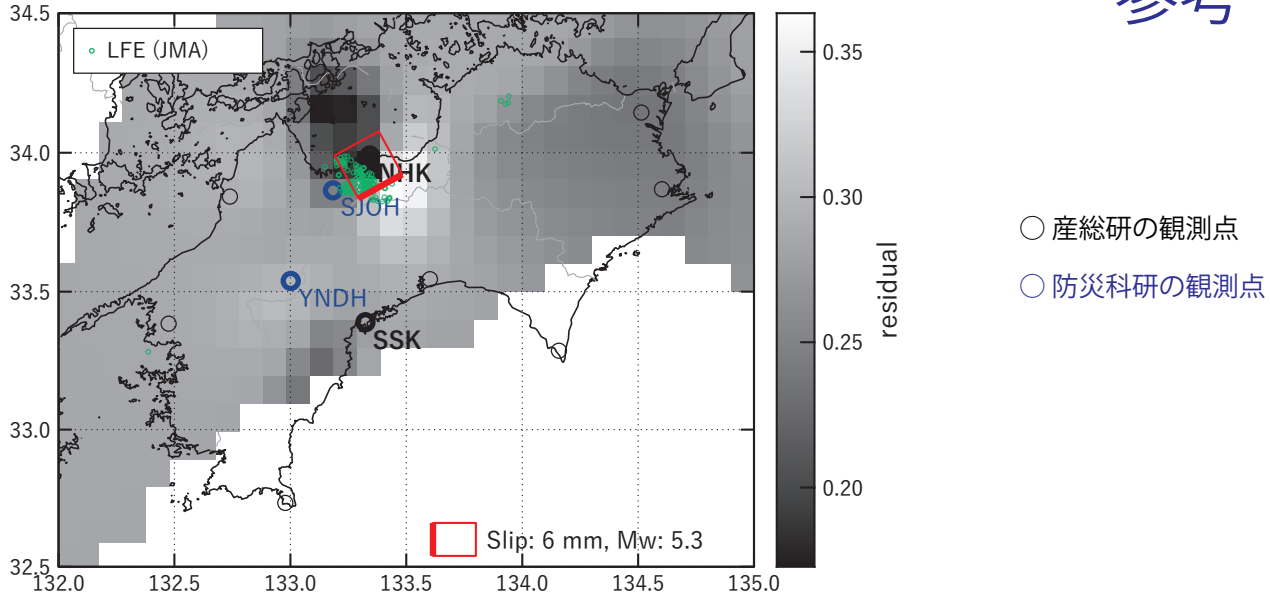
図15 四国地方西部における歪・傾斜の時間変化  
(2024/08/05 00:00 - 2024/08/28 00:00 (JST))



[A] 2024/08/17-18

(a) 断層の大きさを固定した場合の断層モデルと残差分布

参考



(b1) 推定した断層モデル

(b2) 主歪

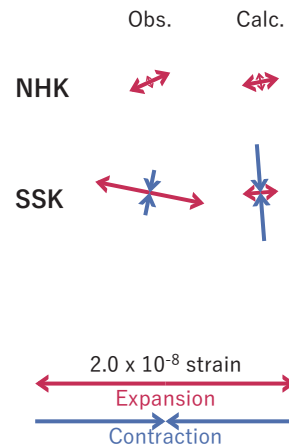
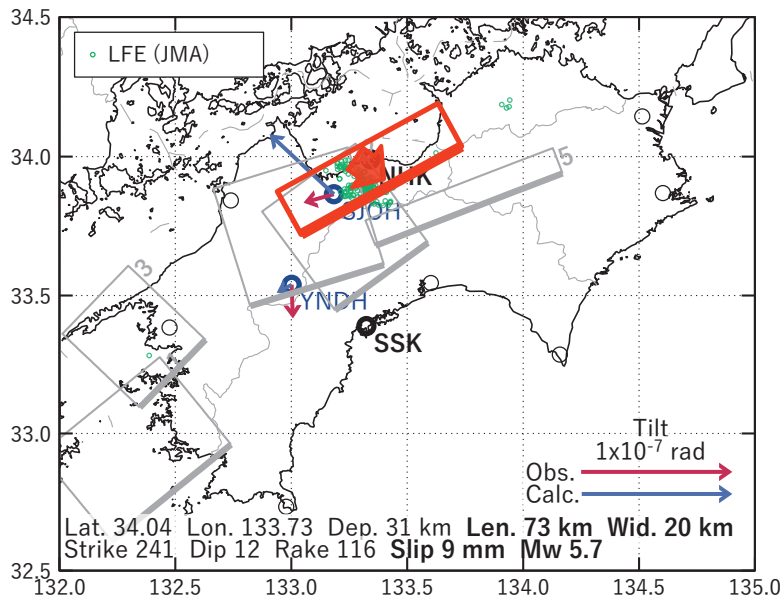


図16 2024/08/17 - 18 の歪・傾斜変化 (図14, 15 [A]) を説明する断層モデル。

(a) プレート境界面に沿って分布させた20×20kmの矩形断層面を移動させ、各位置で残差の総和を最小とするすべり量を選んだ時の残差の総和の分布。赤色矩形が残差の総和が最小となる断層面の位置。

(b1) (a)の位置付近をグリッドサーチして推定した断層面 (赤色矩形) と断層パラメータ。灰色矩形は最近周辺で発生したイベントの推定断層面。

1: 2023/12/05-06 (Mw6.0), 2: 2023/12/24-31AM (Mw6.0), 3: 2024/04/12-17AM (Mw5.9),

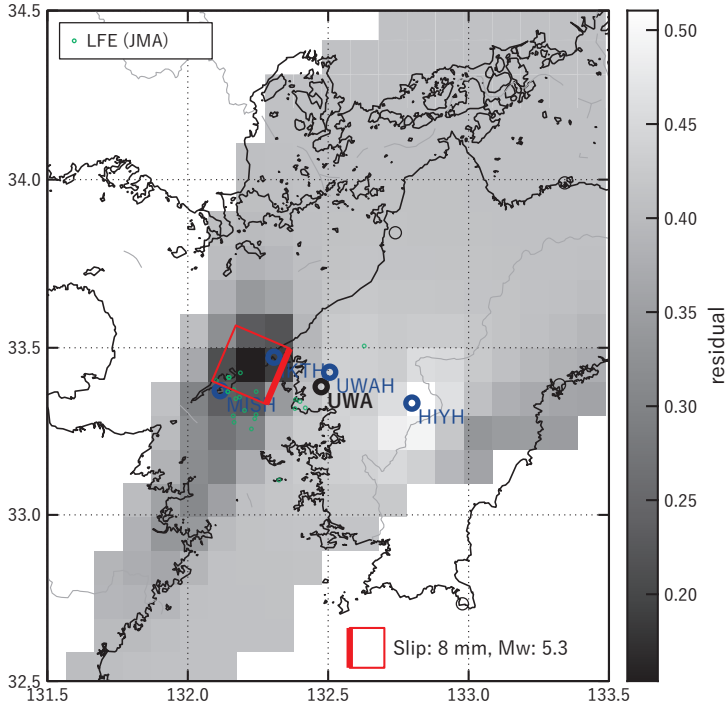
4: 2024/06/21-27AM (Mw6.1), 5: 2024/07/04-06 (Mw5.8)

(b2) 主歪の観測値と(b1)に示した断層モデルから求めた計算値との比較。



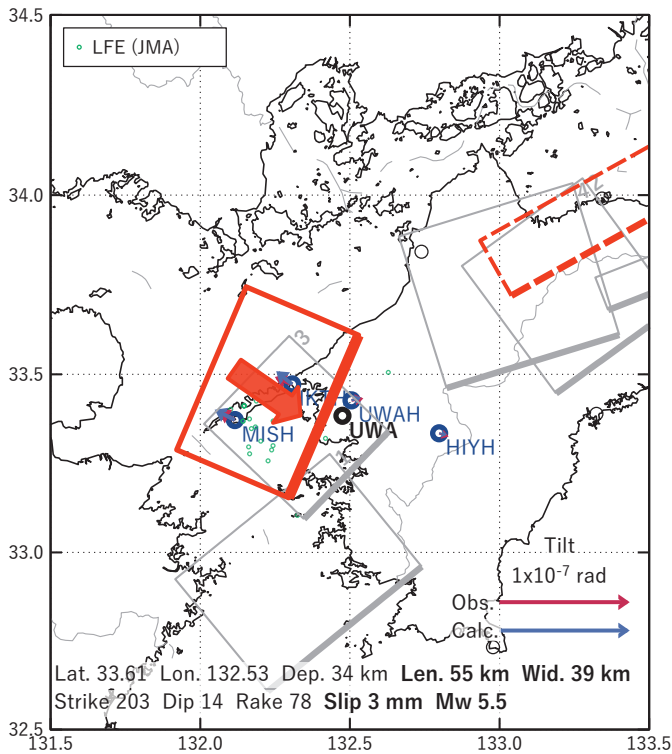
[B] 2024/08/21

(a) 断層の大きさを固定した場合の断層モデルと残差分布



○ 産総研の観測点  
○ 防災科研の観測点

(b1) 推定した断層モデル



(b2) 主歪

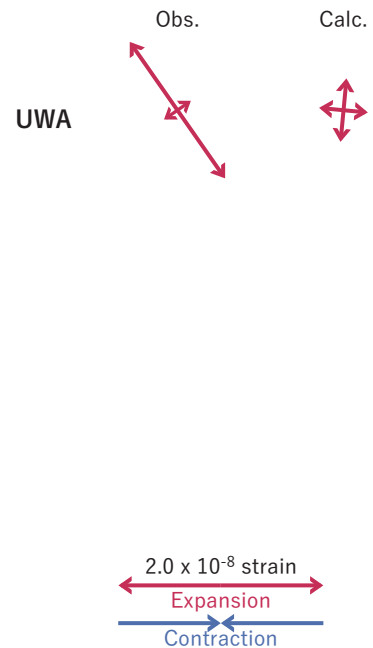


図17 2024/08/21 の歪・傾斜変化 (図14, 15 [B]) を説明する断層モデル。

(a) プレート境界面に沿って分布させた20×20kmの矩形断層面を移動させ、各位置で残差の総和を最小とするすべり量を選んだ時の残差の総和の分布。赤色矩形が残差の総和が最小となる断層面の位置。

(b1) (a)の位置付近をグリッドサーチして推定した断層面(赤色矩形)と断層パラメータ。灰色矩形は最近周辺で発生したイベントの推定断層面。

1: 2023/12/05-06 (Mw6.0), 2: 2023/12/24-31AM (Mw6.0), 3: 2024/04/12-17AM (Mw5.9),

4: 2024/06/21-27AM (Mw6.1), 5: 2024/07/04-06 (Mw5.8)

(b2) 主歪の観測値と(b1)に示した断層モデルから求めた計算値との比較。

[C] 2024/08/22-23

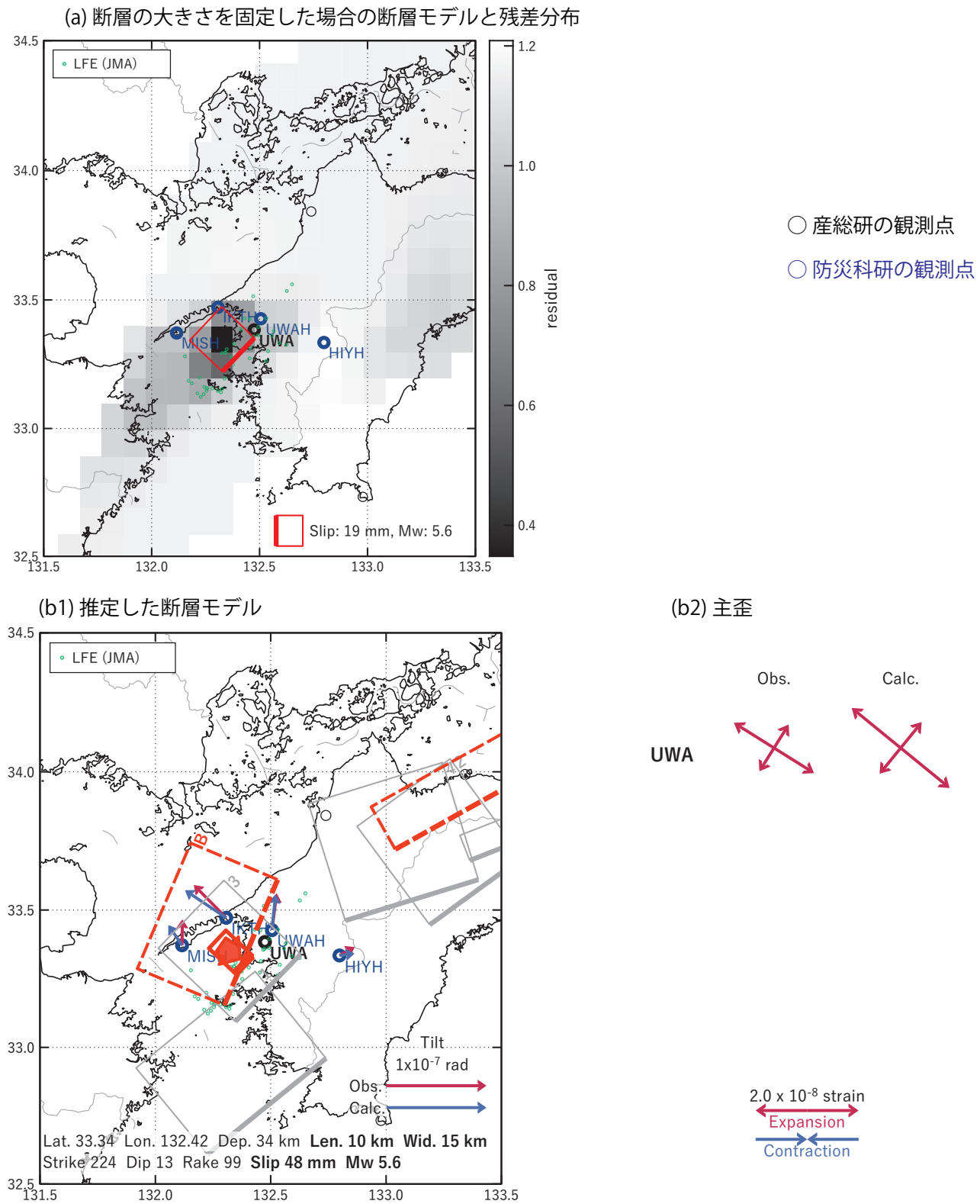


図18 2024/08/22-23の歪・傾斜変化（図14, 15 [C]）を説明する断層モデル。

(a) プレート境界面に沿って分布させた20×20kmの矩形断層面を移動させ、各位置で残差の総和を最小とするすべり量を選んだ時の残差の総和の分布。赤色矩形が残差の総和が最小となる断層面の位置。

(b1) (a)の位置付近をグリッドサーチして推定した断層面（赤色矩形）と断層パラメータ。灰色矩形は最近周辺で発生したイベントの推定断層面。

1: 2023/12/05-06 (Mw6.0), 2: 2023/12/24-31AM (Mw6.0), 3: 2024/04/12-17AM (Mw5.9),  
4: 2024/06/21-27AM (Mw6.1), 5: 2024/07/04-06 (Mw5.8)

(b2) 主歪の観測値と(b1)に示した断層モデルから求めた計算値との比較。

## 2024年8月8日 日向灘の地震（M7.1）後の土佐清水松尾観測点と須崎大谷観測点のひずみ変化について

産業技術総合研究所

2024年8月8日16時42分頃に発生した日向灘の地震（M7.1）の後、高知県の土佐清水松尾観測点および須崎大谷観測点において、ひずみの変化が観測されたので、概要を報告する。

### ★土佐清水松尾（TSS）観測点（高知県土佐清水市）

地震直後にひずみステップ、その後にゆっくりとしたひずみ変化が観測された（図1）。地震後のゆっくりとしたひずみ変化は約1日で終息した。ひずみの伸び縮みパターンは過去の事例と同様であった（図2）。ひずみ変化の継続時間も前例の範囲内（過去の事例は1日程度）であった。

地震後に孔2（TSS2）の水位が低下している（図1）が、これも過去の事例と同様である。

### ★須崎大谷（SSK）観測点（高知県須崎市）

地震直後にひずみステップ、その後にゆっくりとしたひずみ変化が観測された（図3）。地震後のゆっくりとしたひずみ変化は1日弱で終息した。ひずみの伸び縮みパターンは過去の事例と同様であった（図4）。ひずみ変化の継続時間も前例の範囲内（過去の事例は0.5日から2日程度）であった。

地震後のひずみ変化は、プレート境界のゆっくりすべりなどに伴う広域の地殻変動ではなく、観測点周辺での環境変化（地下水流動や応力場の変化等）の可能性が高いと考えている。

土佐清水松尾の歪・水位  
(2024/08/01 00:00 - 2024/08/15 00:00 (JST))

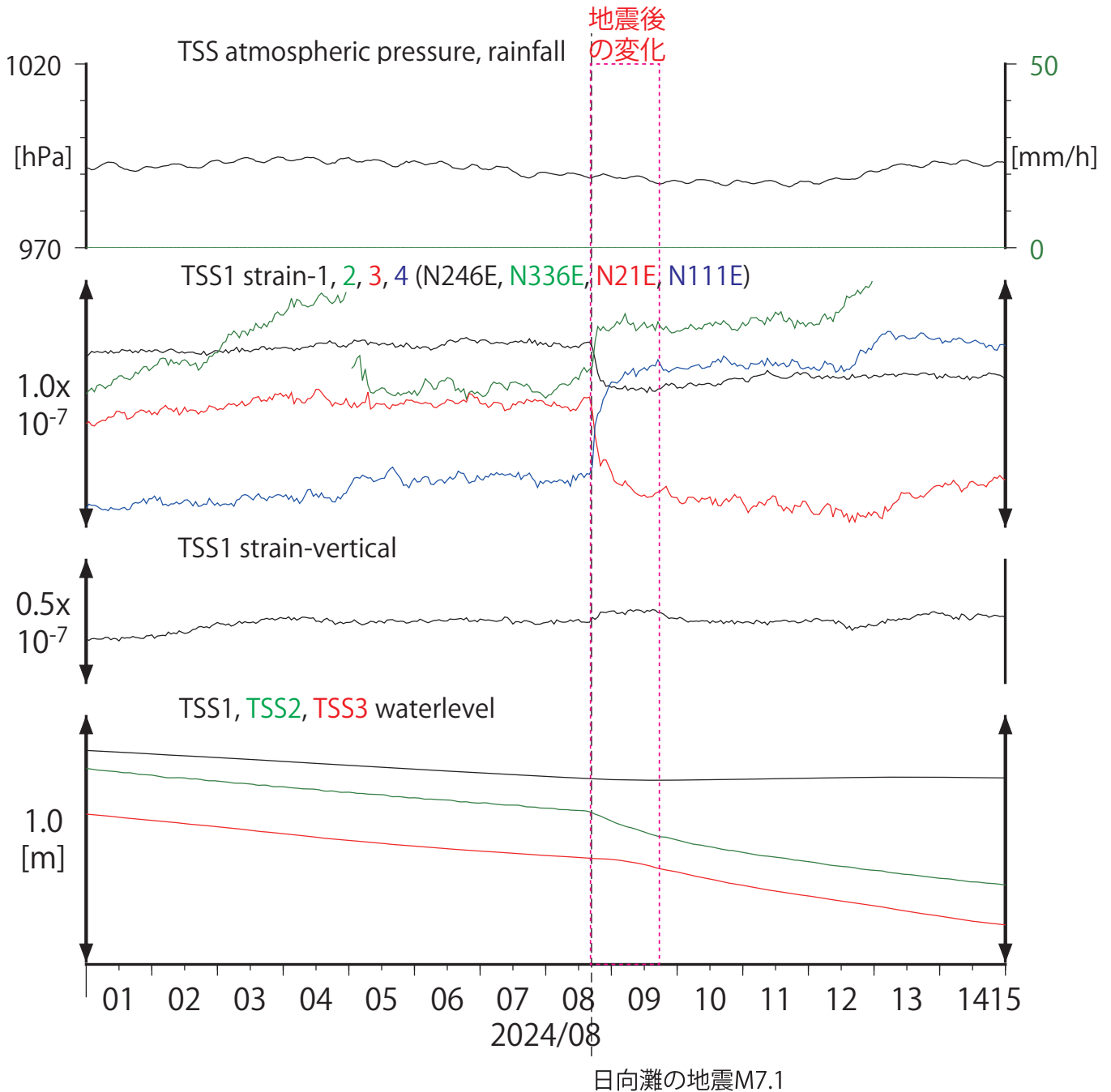


図1 土佐清水松尾観測点のひずみ・水位  
赤点線の範囲が地震後のひずみ変化を示す

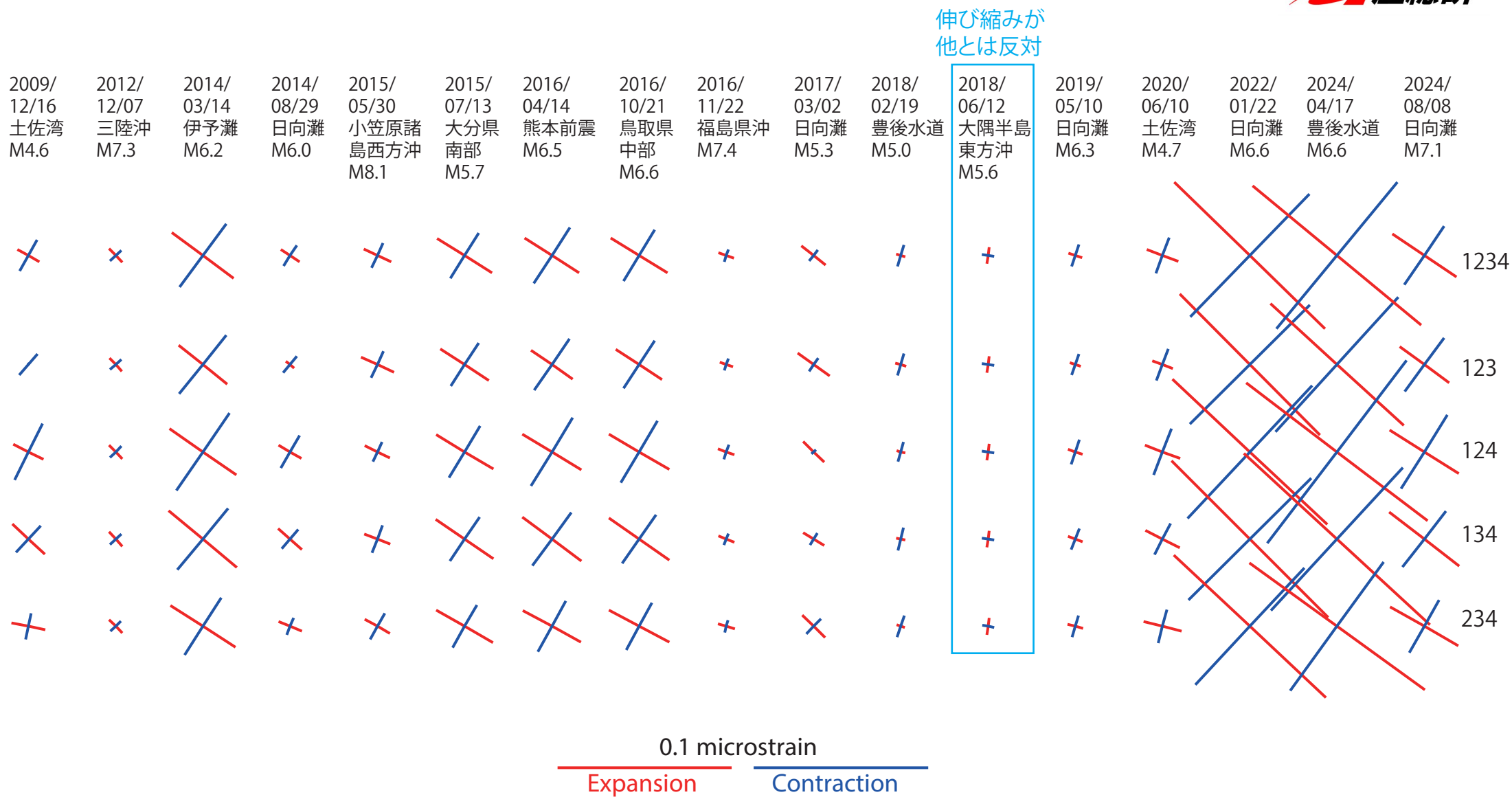


図2 地震後1日間の土佐清水松尾のひずみ変化の主歪場(17例)  
地震時のステップは除去済み

須崎大谷の歪・水位  
(2024/08/01 00:00 - 2024/08/15 00:00 (JST))

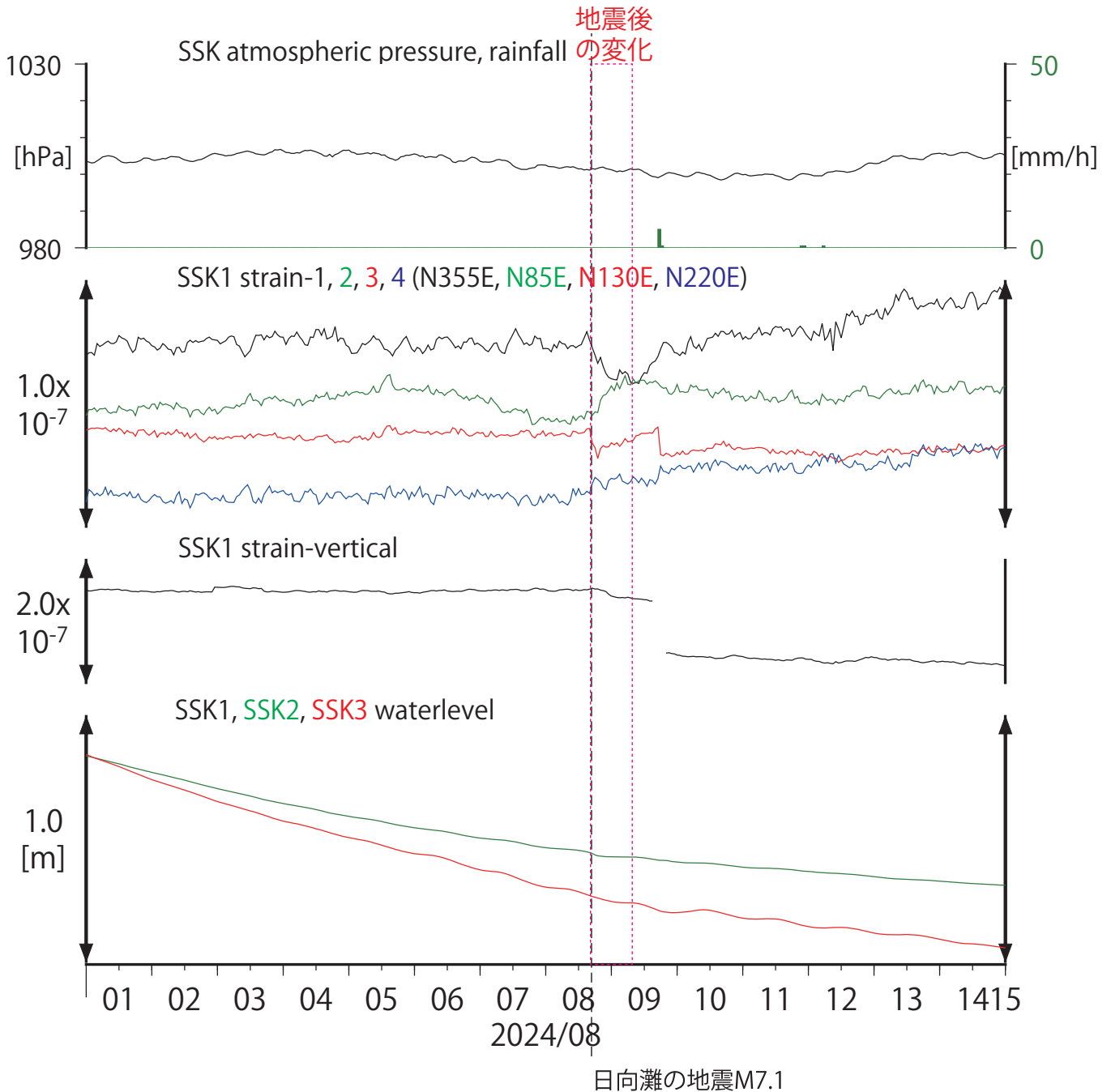


図3 須崎大谷観測点のひずみ・水位  
赤点線の範囲が地震後のひずみ変化を示す

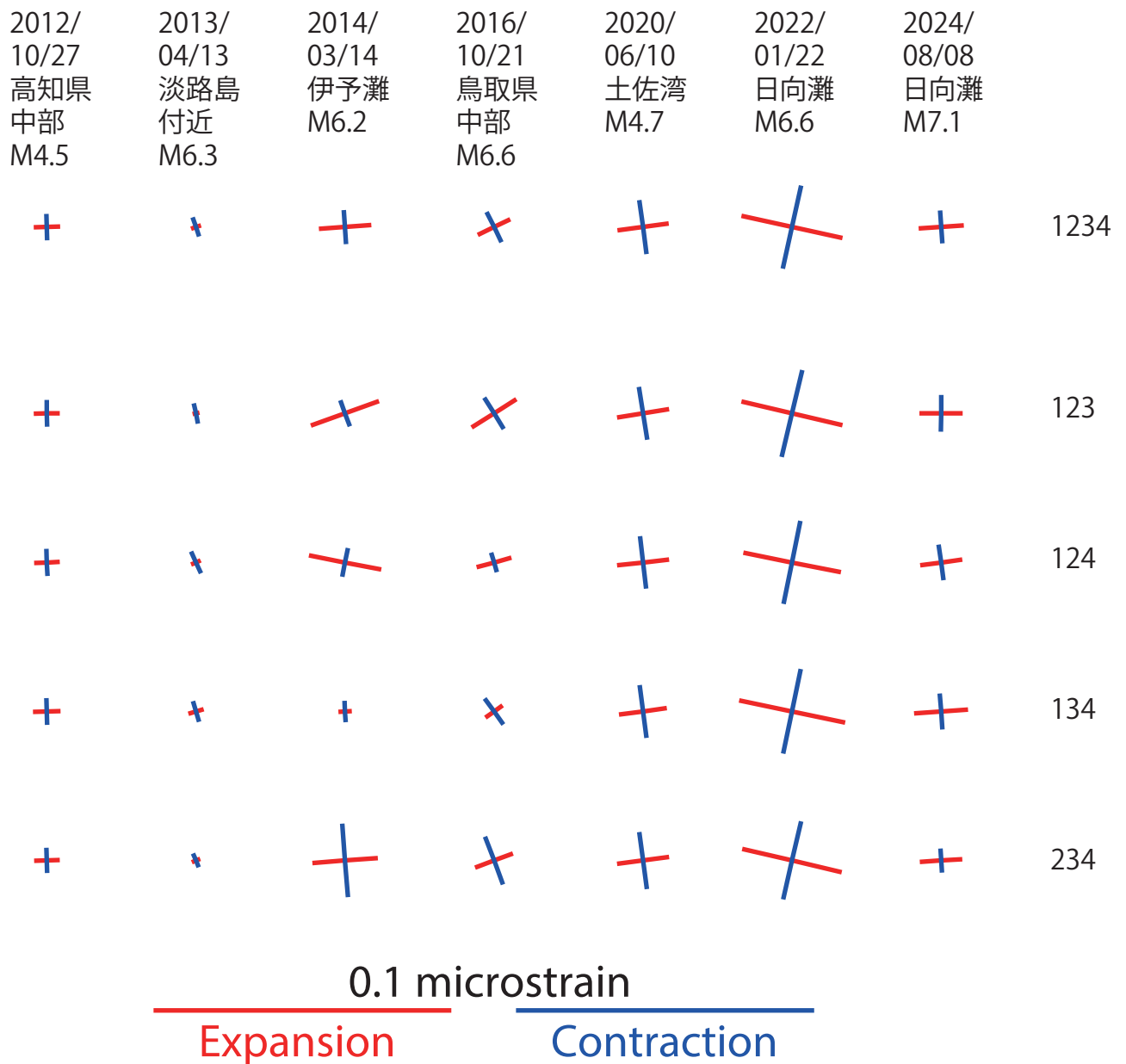


図4 地震後の須崎大谷のひずみ変化の主歪場(7例)  
地震時のステップは除去済み